

Analyse van het muntpoces m.b.v. de eindige elementenmethode

Citation for published version (APA):

Vromans, J. (1984). *Analyse van het muntpoces m.b.v. de eindige elementenmethode*. (TH Eindhoven. Afd. Werktuigbouwkunde, Vakgroep Produktietechnologie : WPB; Vol. WPB0119). Technische Hogeschool Eindhoven.

Document status and date:

Gepubliceerd: 01/01/1984

Document Version:

Uitgevers PDF, ook bekend als Version of Record

Please check the document version of this publication:

- A submitted manuscript is the version of the article upon submission and before peer-review. There can be important differences between the submitted version and the official published version of record. People interested in the research are advised to contact the author for the final version of the publication, or visit the DOI to the publisher's website.
- The final author version and the galley proof are versions of the publication after peer review.
- The final published version features the final layout of the paper including the volume, issue and page numbers.

[Link to publication](#)

General rights

Copyright and moral rights for the publications made accessible in the public portal are retained by the authors and/or other copyright owners and it is a condition of accessing publications that users recognise and abide by the legal requirements associated with these rights.

- Users may download and print one copy of any publication from the public portal for the purpose of private study or research.
- You may not further distribute the material or use it for any profit-making activity or commercial gain
- You may freely distribute the URL identifying the publication in the public portal.

If the publication is distributed under the terms of Article 25fa of the Dutch Copyright Act, indicated by the "Taverne" license above, please follow below link for the End User Agreement:

www.tue.nl/taverne

Take down policy

If you believe that this document breaches copyright please contact us at:

openaccess@tue.nl

providing details and we will investigate your claim.

BB 432026

ANALYSE VAN HET MUNTPROCES M.B.V. DE
EINDIGE ELEMENTENMETHODE

Auteur: J. Vromans

WPB-Rapport nr. 0119 sept. '84
VFCODC D1/D3

Verslag II-opdracht

Begeleider: dr.ir. J.A.H. Ramaekers

SAMENVATTING

In dit verslag is een berekening uitgevoerd aan een muntproces m.b.v de eindige elementen methode. Doel van de berekening was om inzicht te verkrijgen in de optredende spanningen en het verloop daarvan als functie van de vullingsgraad van de gravure. De berekeningsresultaten zijn vergeleken met andere berekeningsmethode.

De eindige elementenmethode geeft een goede beschrijving van het proces, zeker als het om het verplaatsingseeld gaat. De berekende spanningen zullen nog aan een extra onderzoek onderworpen moeten worden.

INHOUDSOPGAVE

I INLEIDING	b1/2
	1
II MODELLERING	5
III MARC INVOER	10
IV RESULTATEN	23
V Besprekking resultaten	28
VI VERGELIJKING E.E.M. experimentele result.	32
VII VERGELIJKING E.E.M. met schillen meth.	33
VIII VERGELYKING E.E.M. met raster opname	34
IX OPMERKINGEN	37
X CONCLUSIES	42

Literatuur.

Bylage I : MARC INVOER	43
Bylage II : VERVORMDE MESHES	54
Bylage III : SPANNINGEN LOOD	61
Bylage IV : SPANNINGEN ALU.	70

I INLEIDING

Het munten is een van de oudste koud omvorm technieken die bekend is. De bewerking houdt slechts in dat een gravure zo scherp mogelijk wordt overgenomen. Een schematische voorstelling van de munt-opstelling ziet u in figuur 1.

In ons geval bestaat de boven en onderstempel niet uit een ingewikkelde gravure, maar zijn de stempels vlak uitgevoerd. De muntblank bestaat niet zoals gewoonlijk uit een vlakke blank, maar bezit een schuine rand. zie figuur 2.

Dese opstelling heeft niet tot doel een vlakke munt te maken, omdat dit wel op een eenvoudigere manier kan, maar om meer inzicht te verkrijgen in de benodigde stempelkracht en de optredende inwendige spanningen bij het uilen van de gravure (schuine holte).

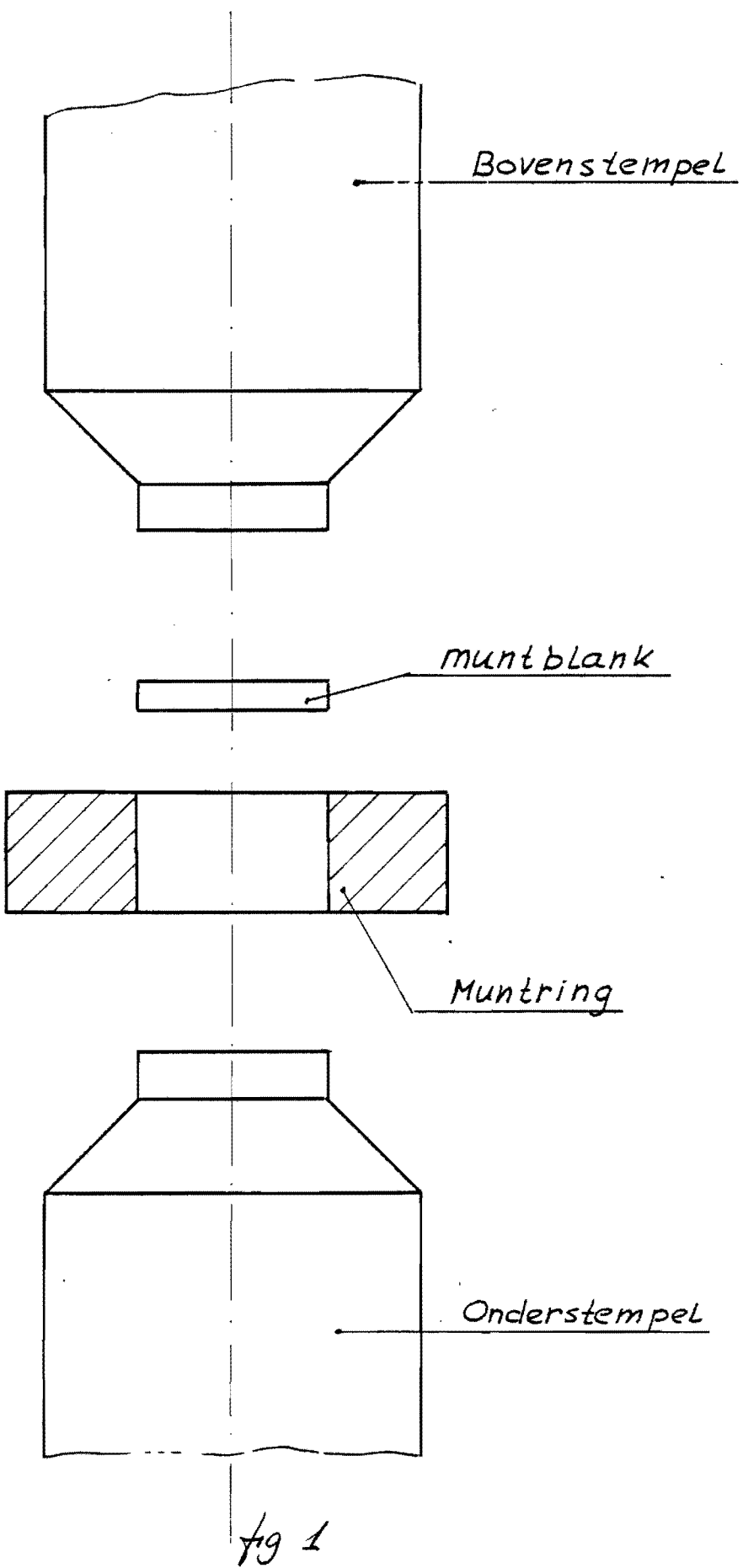
In het bijzonder zijn we geïnteresseerd in het verloop van de spanningen als functie van de steeds kleiner wordende schuine rand ρ . zie figuur 3. Er bestaan verschillende methoden om achter dit verband te komen (als het bestaat)

- nl.
 - * experimenteel
 - * schuiken methode
 - * upper bound methode
 - * eindige elementen methode

In dit verslag wordt de eindige elementen methode beschouwd.

Een van de problemen die hierbij ontstaan is de beschrijving van het toenemende contact oppervlak tussen stempel en blank en tussen muntring en blank. resp ΔA_s en ΔA_m in figuur 3

Dit probleem wordt opgelost met zgn gap-elementen.



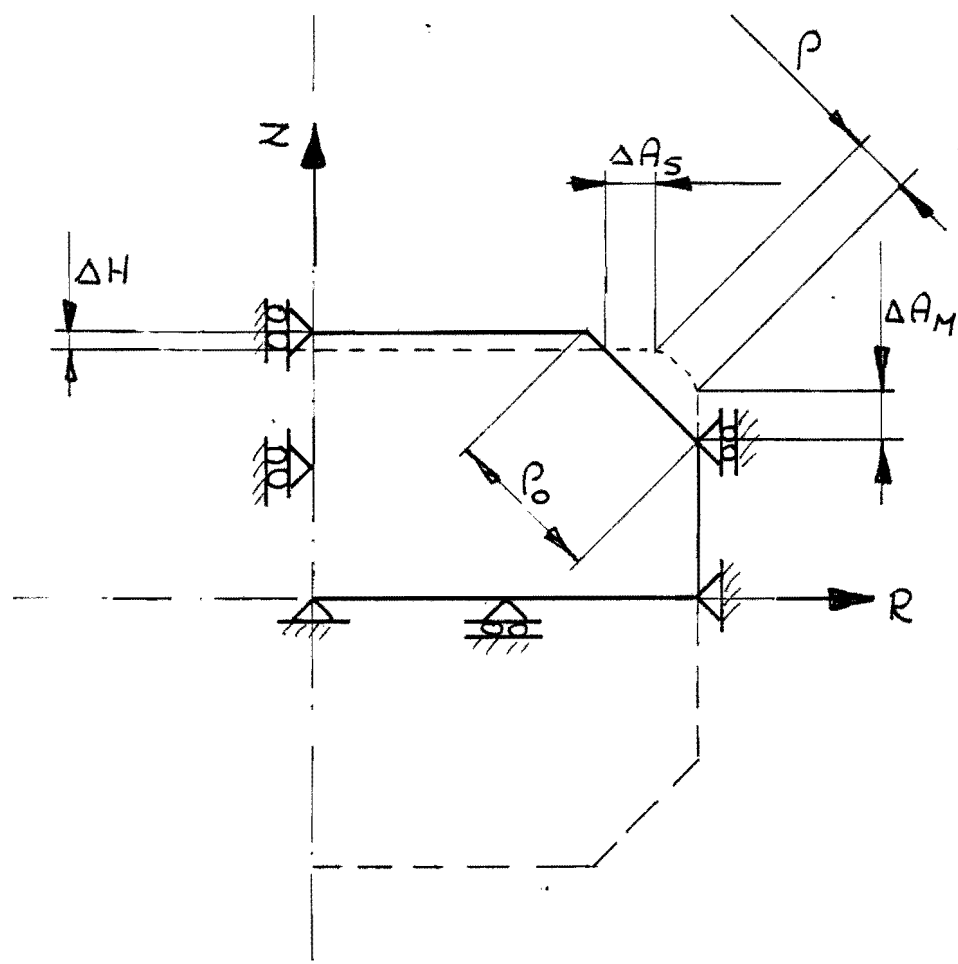
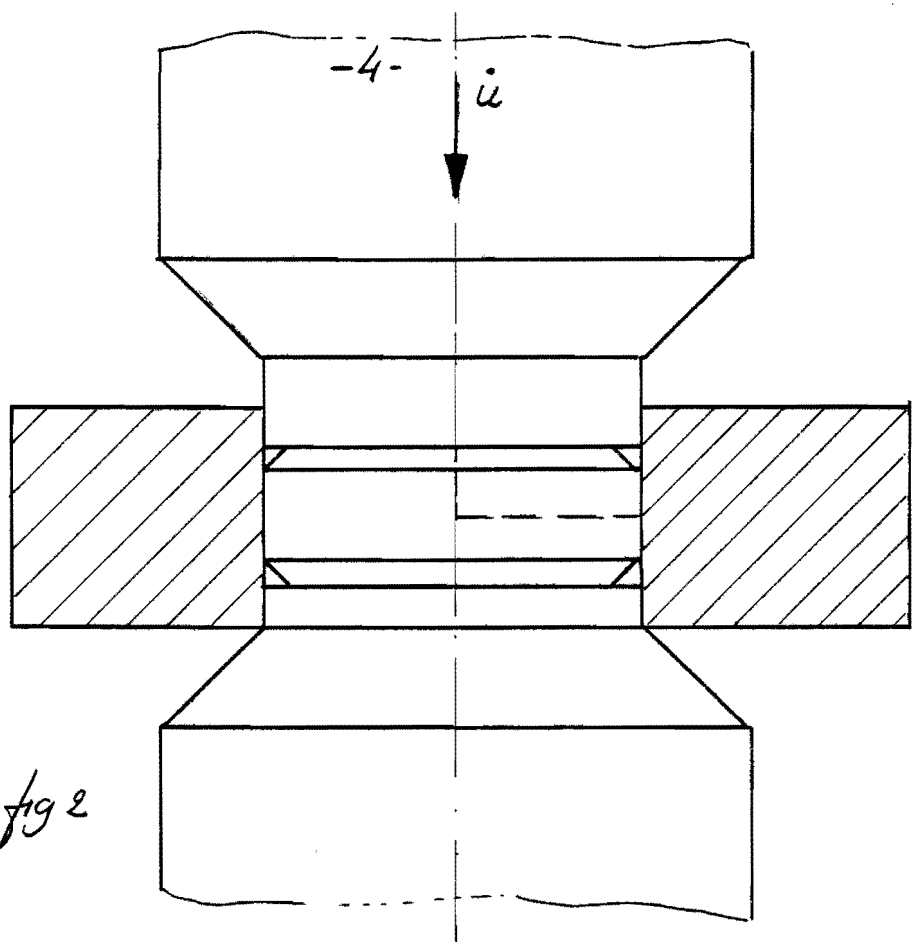


fig 3.

II MODELLERING

Ons probleem is rotatorisch symmetrisch en boven-dien symmetrisch t.o.v. $z=0$.

Met invoering van de juiste rand voorwaarden is 'n beschrijving van $\frac{1}{4}$ deel van de muntblank voldoende. De ingevoerde rand voorwaarden zijn weergegeven in figuur 3.

Er wordt aangenomen dat de stempels en de muntring star zijn. Een volgende aanname is dat het contact tussen muntblank en gereedschappen (stempels en muntring) wrijvingsloos is.

De modellering gebeurd met het niet lineaire eindige elementen pakket "MARC" in combinatie met de "SDRC"- software "SUPERTAB" dat als voor en na loop programmeertuur dienst doet.

De gang van zaken bij deze combinatie is als volgt:

- a) Interactief genereren van de elementen verdeling, aanbrengen van rand voorwaarden, specificeren van de voorgeschreven belasting, evenals het definieren van materiaal en andere parameters m.b.v. "SDRC / MODEL CREATION". De verkregen data wordt vastgelegd in een zgn "UNIVERSAL"- file.
- b) De boven genoemde "UNIVERSAL"- file wordt met 'n vertaal programma FT (file translator) omgezet naar een "MARC"- invoer file

- c) Na enige toevoegingen aan de MARC - interface
(eigenlijk alleen de speciale opties voor niet-lineaire problemen), kan het "MARC"-programma opgestart worden. De berekeningsresultaten worden in een file (de "POST"-tape) vastgelegd.
- d) De "POST"-tape wordt met een vertaal programma weer omgezet in een "UNIVERSAL"-file
- e) Interactieve verwerking van de resultaten met "SDRC / OUTPUT DISPLAY"
Voor verdere informatie zie [1] en [2]

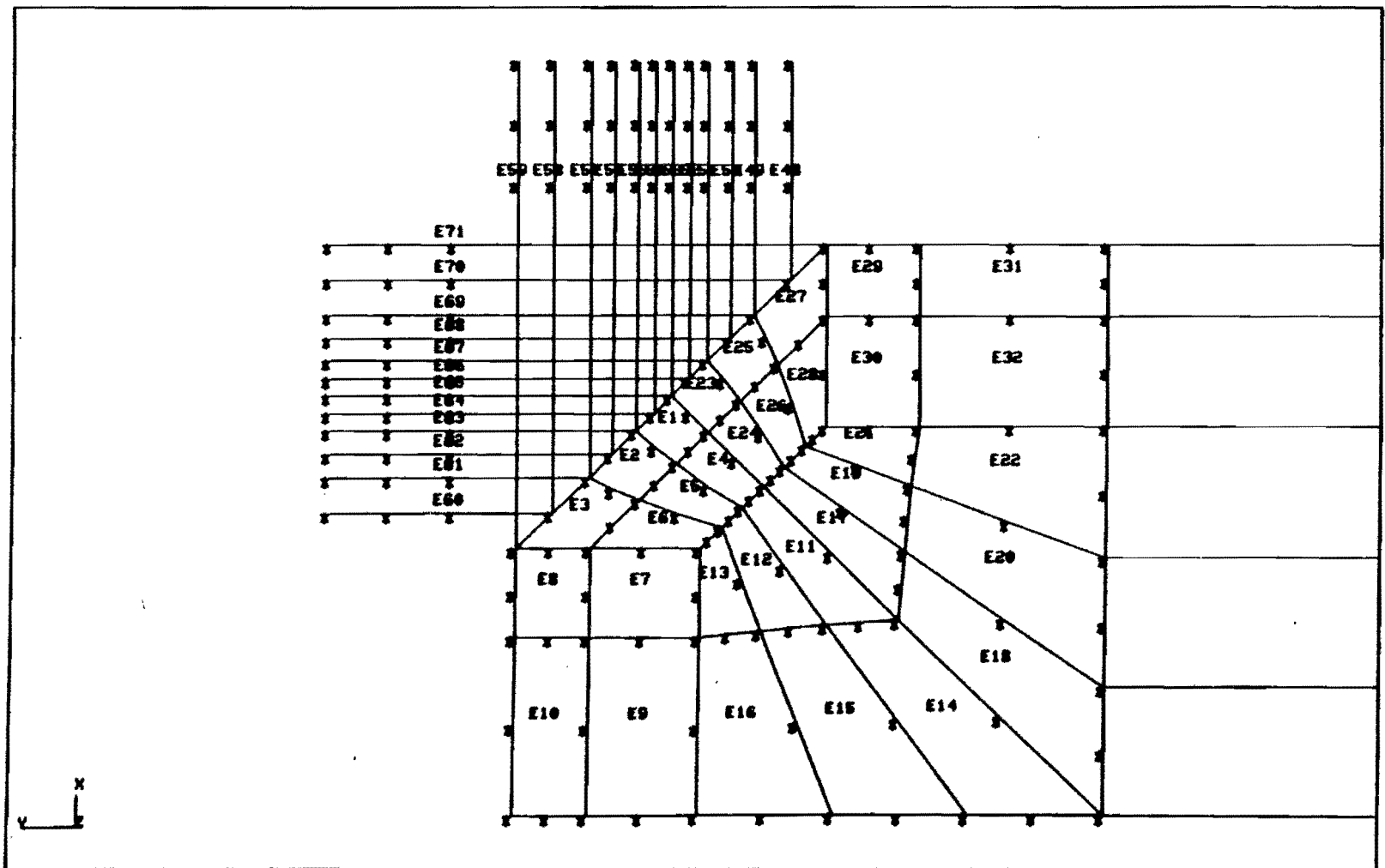
Een gedeelte van op deze manier verkregen MESH (nbr. SDRC / MODEL CREATION) ziet u in figuur 4 en 5. Hierin zijn element nr 48 t/m 71 de zgn gap elementen. Voor de theorie achter deze elementen verwijzen we naar [3].

In het kort kunnen we zeggen dat deze gap-elementen de afstand tussen de twee uiterste knooppunten van dit element kunnen beschrijven. en zodoende kunnen bepalen of deze afstand nul wordt.
(dwz. er wordt contact gemaakt tussen gereedschap en muntblank).

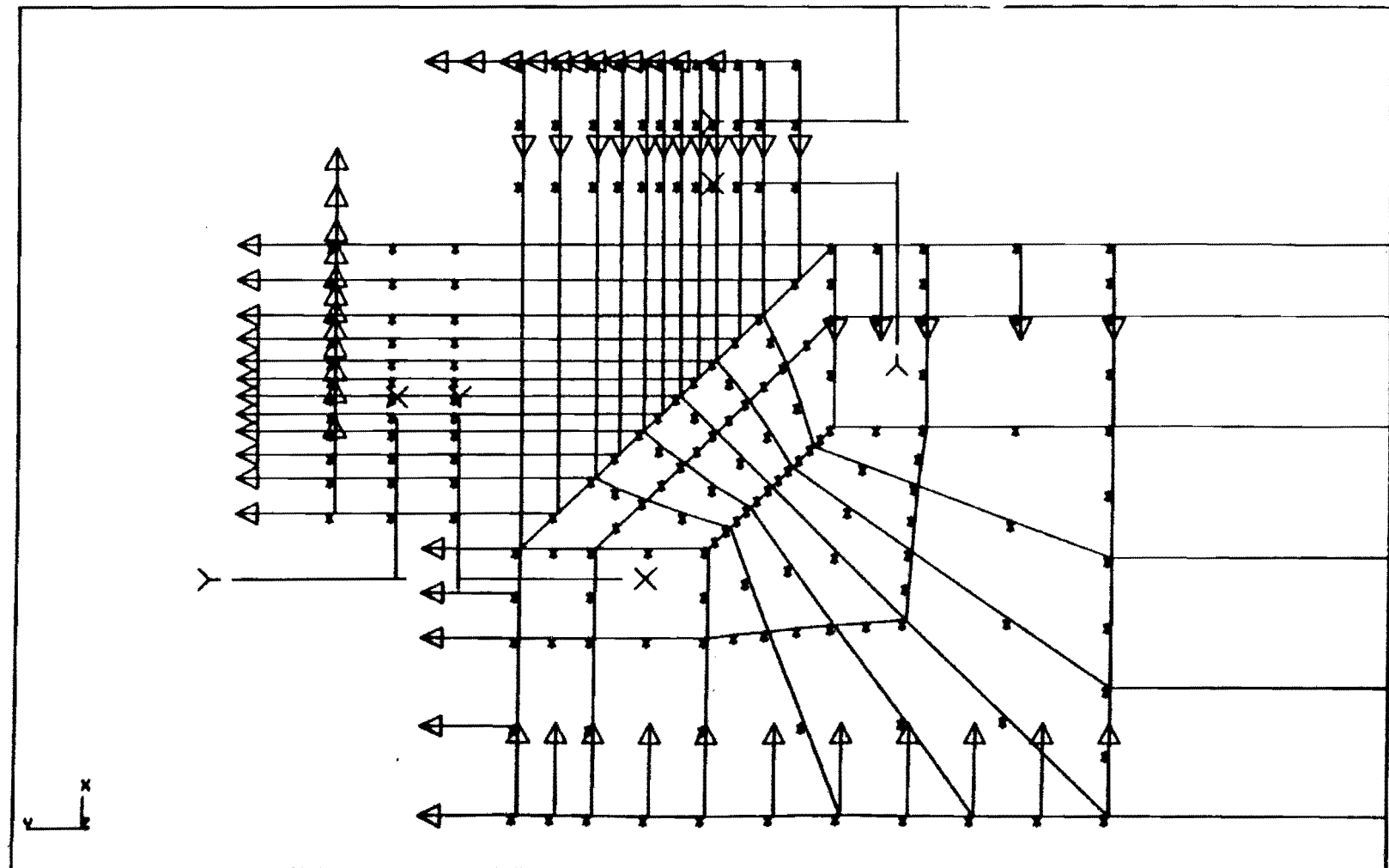
De muntblank zelf is beschreven met een 8-knoops isoparametrisch element (type 2d zie [3]).

Er is voor een 8-knoops element gekozen omdat deze een kwadratisch verplaatsingsveld hebben waardoor ze een lineair spinningsveld kunnen beschrijven.

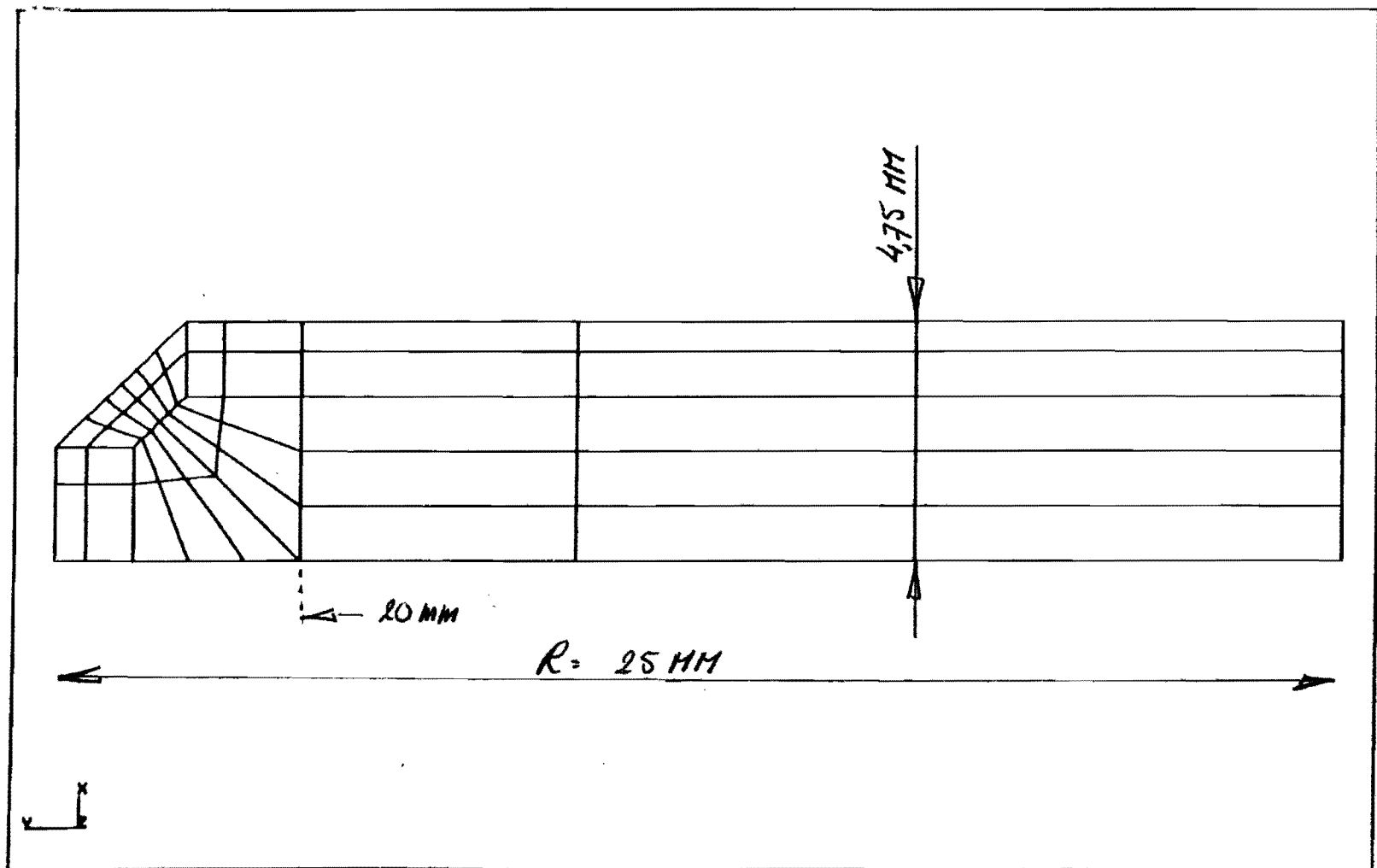
6.8



5.6f



96f



De elementen zijn bouwdien ISO-parametrisch zodat de randen goed beschreven kunnen worden.

De verdeling van de Muntblank in elementen zien we in figuur 6

III MARC INVOER

In dit hoofdstuk bespreken we de opbouw van het programma pakket "MARC".

De afzonderlijke commando's en subroutines worden besproken aan de hand van bijlage I

De nadruk zal hierbij liggen op het gedeelte dat niet valt uit het voorloop programma "SDRC / MODEL-CREATION" dus op de speciale opties voor het niet Lineaire gedeelte.

De invoer van "MARC" kunnen we onderverdelen in drie hoofdgroepen. Deze groepen vormen een natuurlijke onderverdeling van de invoer gegevens.

Binnen elke groep afzonderlijk is er een keuze uit een groot aantal programma kaarten (opties - subroutines). Door een geschikte keuze van deze kaarten kan men met een minimum aan invoer gegevens het gewenste probleem beschrijven. De invoer is verdeeld in de volgende drie hoofdgroepen. (zie ook blz 18)

a) Parameter cards

Dit set van kaarten wordt gebruikt voor

het aanwijzen van het benodigde geheugen en om het verloop van het programma door de gewenste analyse te sturen. Deze set van kaarten wordt afgesloten met 'n "END" kaart

b) MODEL DEFINITION CARDS

Dese set van kaarten beschrijft de initiele geometrie, belasting en materiaalgegevens van het model. Deze kaarten verschaffen het programma de benodigde informatie voor het doorrekenen van het initiele elastische probleem.

("hulde increment" oplossing)

Dese set van kaarten wordt afgesloten met een "END OPTION" kaart.

c) LOAD INCREMENTATION CARDS

Dese set van kaarten voorziet in de belastings-incrementen en de sturing van het programma na de initiele elastische analyse.

Elke set van sturingskaarten wordt afgesloten door een "CONTINUE" kaart. Deze kaart stuurt het programma terug voor een nieuw increment of een serie van incrementen.

We lopen nu aan de hand van bijlage I door de verschillende groepen heen. Voor een uitvoerige beschrijving van de kaarten verwijzen we naar de "MARC-MANUAL" Lit [3].

De met een (*) aangekruiste kaarten worden NIET door het vertaal programma FT gemaakt maar worden later met de hand toegevoegd.

ad a) PARAMETER CARDS

- TITLE : spreekt voor zich
- SIZING : reserveert geheugen
- ELEMENTS : geeft type elementen aan
- ALL POINTS : Deze optie wordt gebruikt voor het berekenen en opstellen van spanningen en rekkken in alle integratie punten van alle elementen
- (*) UPDATE :
 - 1: Deze kaart schakelt de updated lagrange procedure in voor de elementen waarbij deze formulerking gebruikt kan worden.
Dit procedure heeft twee konse kwantities.
 - 2: De element stijfheidsmatrix wordt bepaald aan de hand van de huidige vorm het element
 - 3: De spanning en rek uitvoer wordt gegeven in het coördinaten systeem wat gebruikshelyk is in de updated lagrange procedure (in ons geval globaal z-r)
- (*) FINITE : Wordt gebruikt bij grote rekkken (tot 3%)
Met deze optie wordt rekening gehouden

met de geometrie veranderingen als
gevolg van niet elastische deformaties.
Dit kaart moet altijd samen gaan met
de "UPDATE" kaart.

END : Deze kaart sluit de serie van
parameter cards af.

ad 6) MODELDEFINITION CARDS

(*) POST : Maakt file waar berekenings gegevens
op worden weg geschreven ("POST"-file)
voor het maken van plots.

Voor de betekenis van de codes
1. 2 ... 24.27 zie blz 19.

(*) CONTROL : Deze optie geeft de gebruiker de
mogelijkheid om de gewenste nauwkeurig-
heid, en maximaal aantal iteratie-
stappen per increment op te geven.

(*) PRINT CHOICE : geeft de mogelijkheid om te kiezen
van welke elementen en knooppunten
je uitvoer wilt. In ons geval is deze
optie gebruikt om de grote hoeveelheid
van uitvoer te onderdrukken (d.w.z
geprinte uitvoer) De berekenings gegevens
staan ook op de "POST"-file

COORDINATES : Dit blok geeft de coördinaten van
elk knooppunt weer.

CONNECTIVITY : Dit blok geeft de topologie weer dwz de knooppunten voor elk element.

PROPERTY : geeft de materialen eigenschappen van de elementen weer, zoals E -modulus, ν , en vloegrens.

Voor de gap-elementen kan men hier de mitrele sprek en wrijvingscoëfficiënten opgeven.

In ons geval is er voor load opgegeven

E -modul $14\,000 \text{ N/mm}^2$

ν $0,3$

σ_{UL} 15 N/mm^2

(*) WORK HARD : Deze kaart geeft de gebruiker de mogelijkheid om een spannings-rekrelatie op te geven voor elastisch-plastisch materiaal gedrag.

De "work hardening" (verskuring) kan op drie manieren opgegeven worden.

Een manier, die hier gekozen is, is om de kromme op te delen in rechte lijnstukken.

By deze methode geeft men op :

- het aantal lijnen waarmee kromme wordt behandeld (3 in ons geval)

- op welk gedeelte van het model de versteuring betrekking heeft
De "7" verwijst naar het property block 1 to 47. De versteuring heeft dus alleen betrekking op de elementen 1 t/m 47 (de blank)

Daarna volgen drie kaarten waarop de helling en het startpunt van de lijnen staan.

Dese getallen zijn berekend volgens de methode zoals aangegeven op blz 20

Dese methode is toegepast op de grafiek op blz 21 en 22

Op dese grafieken zijn ook de gebruikte waardes op terug zijn te vinden.

BOUNDARY -

CONDITION : Geeft een lijst van randvoorwaarden weer, op welk knooppunt ze werken en in welke richting ($1 = z$, $2 = R$)

END OPTION : Sluit de reeks van "MODEL DEFINITION CARDS" af

ad c) LOAD INCREMENTATION CARDS

(*) AUTO LOAD : geeft het aantal incrementen aan wat na het elastische increment volgen.

De grootte van het increment hangt af van de schaal factor zoals die is opgegeven bij "proportional increment"

(*) PROPORTIONAL-

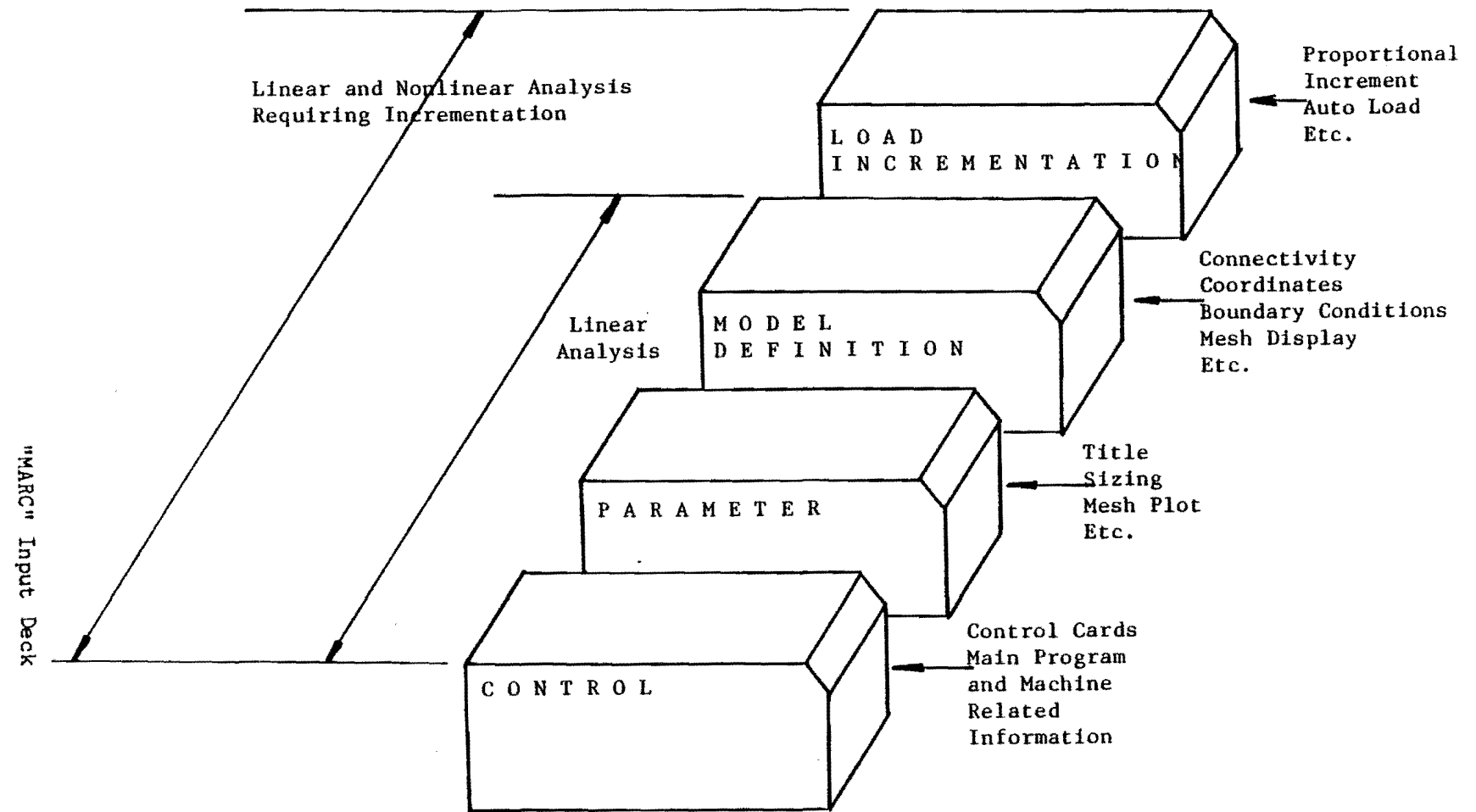
INCREMEN : geeft de schaal factor aan waarmee het voorgaande increment vermenigvuldigd wordt.

(*) CONTINUE : Deze kaart is nodig om aan te geven dat alle data voor dit increment of serie van incrementen is gelezen is. De berekening wordt dan opgestart.

In ons geval rekenen we de volgende incrementen door, waarbij de stempelverplaatsing opgedrukt wordt

Incr.	Δh_i	$\sum_{i=0}^n \Delta h_i$	Load case / step
0	0,001	0,001	1
1	0,01	0,011	2
2	"	0,021	3
3	"	0,031	4
4	"	0,041	5
5	"	0,051	6
6	0,025	0,076	7
7	"	0,101	8
8	"	0,126	9
9	"	0,151	10
10	"	0,176	11
11	"	0,201	12
12	"	0,226	13
13	"	0,251	14
14	"	0,276	15
15	"	0,301	16

16	0,025	0,326	17
17	"	0,351	18
18	"	0,376	19
19	"	0,401	20
20	"	0,426	21



The next series of cards in this option is used for input of codes for selecting strains and stresses for plotting to be written to the post tape.

The following code is used:

<u>Code</u>	<u>Description</u>
1-6	Components of strain. For rigid-perfectly plastic flow problems, components of strain rate.
7	Equivalent plastic strain (integral of equivalent plastic strain rate). For rigid-perfectly plastic flow problems, equivalent plastic strain rate.
8	Equivalent creep strain (integral of equivalent creep strain rate).
9	Total temperature.
10	Increment of temperature.
11-16	Components of stress.
17	Equivalent Mises stress.
18	Mean normal stress (tensile positive) for Mohr-Coulomb.
19	User selected variable based on stress and temperatures defined in PLOTV. See user subroutine section.
20	Thickness of element.
21-26	Components of the total plastic strain.
27	Total equivalent plastic strain.
	$\bar{\epsilon}^P = \sqrt{\frac{2}{3} \sum_{ij} \Delta \epsilon_{ij}^P \sum_{ij} \Delta \epsilon_{ij}^P}$
29	Total value of second state variable.
31-36	Physical components of total creep strain.
37	Total equivalent creep strain.
	$\bar{\epsilon}^C = \sqrt{\frac{2}{3} \sum_{ij} \Delta \epsilon_{ij}^C \sum_{ij} \Delta \epsilon_{ij}^C}$
38	Total swelling strain (from subroutine VS WELL).
39	Total value of third state variable.
40	Higher order contribution obtained from QUALIFY option.
41-46	Components of Cauchy stress.
47	Equivalent Cauchy stress.
48	Strain energy; for elements with Mooney material only.

DEFINITION OF WORK-HARDENING SLOPES

Work-hardening slopes must be input for uniaxial stress data as change in stress per unit of plastic strain (see the diagram below):

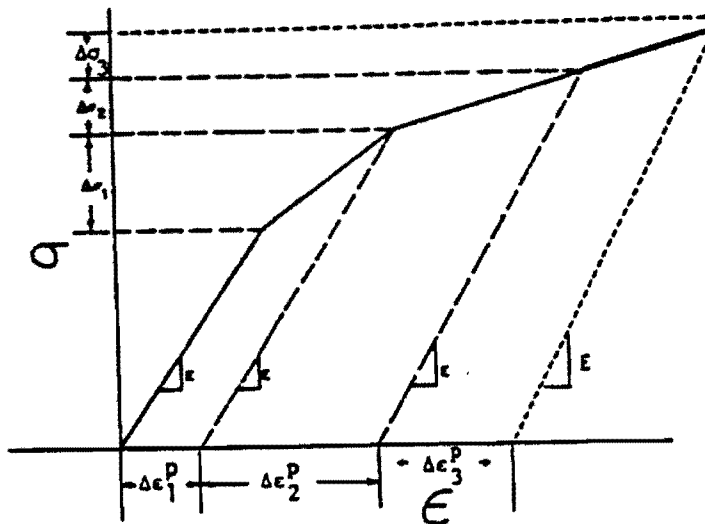


Figure A2.5-3 Work Hardening Slopes

$$1\text{st work hardening slope} = \frac{\Delta\sigma_1}{\Delta\epsilon_1^P}, \text{ breakpoint} = 0.0$$

$$2\text{nd work hardening slope} = \frac{\Delta\sigma_2}{\Delta\epsilon_2^P}, \text{ breakpoint} = \Delta\epsilon_1^P$$

$$3\text{rd work hardening slope} = \frac{\Delta\sigma_3}{\Delta\epsilon_3^P}, \text{ breakpoint} = \Delta\epsilon_1^P + \Delta\epsilon_2^P$$

NOTE: The slopes of the work hardening curves should be based on a plot of the stress versus plastic strain curve for a tensile test. The elastic components of the stress strain curve should not be included, and the first breakpoint of the work hardening slope should be 0.0

N/mm²

Load

$$C = 34 \text{ N/mm}^2$$

$$n = 0,185$$

$$\sigma = C(\varepsilon)^n$$

J

30

25

20

15

10

5

gradiënt

$\Delta\sigma_1$

$\Delta\sigma_2$

$\Delta\varepsilon_1^P$

$\Delta\varepsilon_2^P$

$\Delta\varepsilon_3^P$

0,1

0,2

0,3

0,4

0,5

0,6

0,7

0,8

0,9

1

10

Relatie v. Nadai

$\Delta\sigma_3$

kromme wordt benaderd
door 3 rechte lijnen

$$\Delta\sigma_1 / \Delta\varepsilon_1^P = 90 \text{ break point } 0,0$$

$$\Delta\sigma_2 / \Delta\varepsilon_2^P = 32,5 \text{ break point } 0,075$$

$$\Delta\sigma_3 / \Delta\varepsilon_3^P = 14,4 \text{ break point } 0,175$$

($\varepsilon = \text{eff logaritmische rekt}$)

$[N/mm^2]$

Alu. $C = 155 N/mm^2$

$n = 0,03$

$$\bar{\sigma} = C \cdot (\bar{\varepsilon})^n$$

(ware sp.)

200

180

160

140

120

100

Graphiek 6

0,1 0,2 0,3 0,4 0,5 0,6 0,7 0,8 0,9 1

($\bar{\varepsilon}$ = eff. logaritmische rel)

Relatie v. Nadai

kromme wordt benaderd
door 1 lyn. d.w.z. Alu
wordt beschouwd
elastisch - ideaal plastisch.

$$\Delta \sigma_i / \Delta \varepsilon_i^P = 0,0$$

Break point = 0,0

$\bar{\varepsilon}$

IV RESULTATEN

Op blz 25 ziet u de benodigde rekentijd voor de analyses.

De rekentijd voor lood is 5 uur, die voor aluminium bedraagt 1 uur 40 min.

Het verschil in rekentijd zit in de sizing.

De sizing by aluminium was groter dan by lood, zodoende kon het korte probleem ineens in de computer zonder dat er tussen resultaten weg behoeft te worden geschreven. ("cut of core" werken)

Dit bespaart extra tijd.

Omdat we geïnteresseerd zijn in de spanningen (en dan vooral de σ_{zz} , omdat deze de stempelkracht bepaald) als functie van de blank radius, hebben we van de interessante stappen de vervormde Mesh en de bijbehorende spanningen laten uitkijken m.b.v. "SDRC / OUTPUT DISPLAY"

Omdat bleekken is dat zowel lood als aluminium eenzelfde vervormde structuur te zien geven, is maar één serie plots in dit verslag opgenomen. De opvolgende stappen (vanaf load case 12 of increment 11) zijn weergegeven in bijlage II

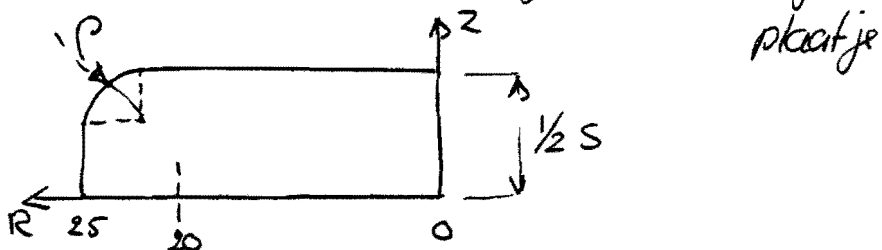
De bijbehorende spanningen zijn genomen over het symmetrie vlak $X=0$ ($Z=0$)

De berekentingsresultaten voor lood zijn opgenomen in bijlage III, de resultaten voor Aluminium staan in bijlage IV

Aangezien we uit kunnen gaan van verschillende blank afmetingen en verschillende materialen worden de gegevens dimensie loos gemaakt.

De spanningen worden dimensie loos gemaakt door ze te delen door de vloesspanning.

De afrondingstraal ρ wordt dimensie los gemaakt door ze te delen door de momentane blank dikte. We zetten dan in een grafiek uit σ_z/σ_v tegen ρ/s . De factor ρ/s wordt verkregen door de plaatjes op te meten van bijlage II volgens onderstaand plaatje.



De zo verkregen resultaten zien we in de grafieken 3 en 4 op blz 26 en 27

De spanningsplaatjes zien er niet zo fraai uit (zie bijlage III). In de buurt van $R = 20$ mm beginnen ze te slingeren.

Hier komen we later nog op terug.

Voor de bepaling van σ_z/σ_v hebben we gebruik gemaakt van het eerst stuk van de grafieken van bijlage III en IV.

Alice

MARC MUNT.MRCIN MUNT.MRCOUT
started at Saturday September 1, 1984 10:50:12
Volume KLAD
111105 total records
37887 records available
65.9

MARC EXECUTION BEGINS
Volume KLAD
111105 total records
37320 records available
66.4

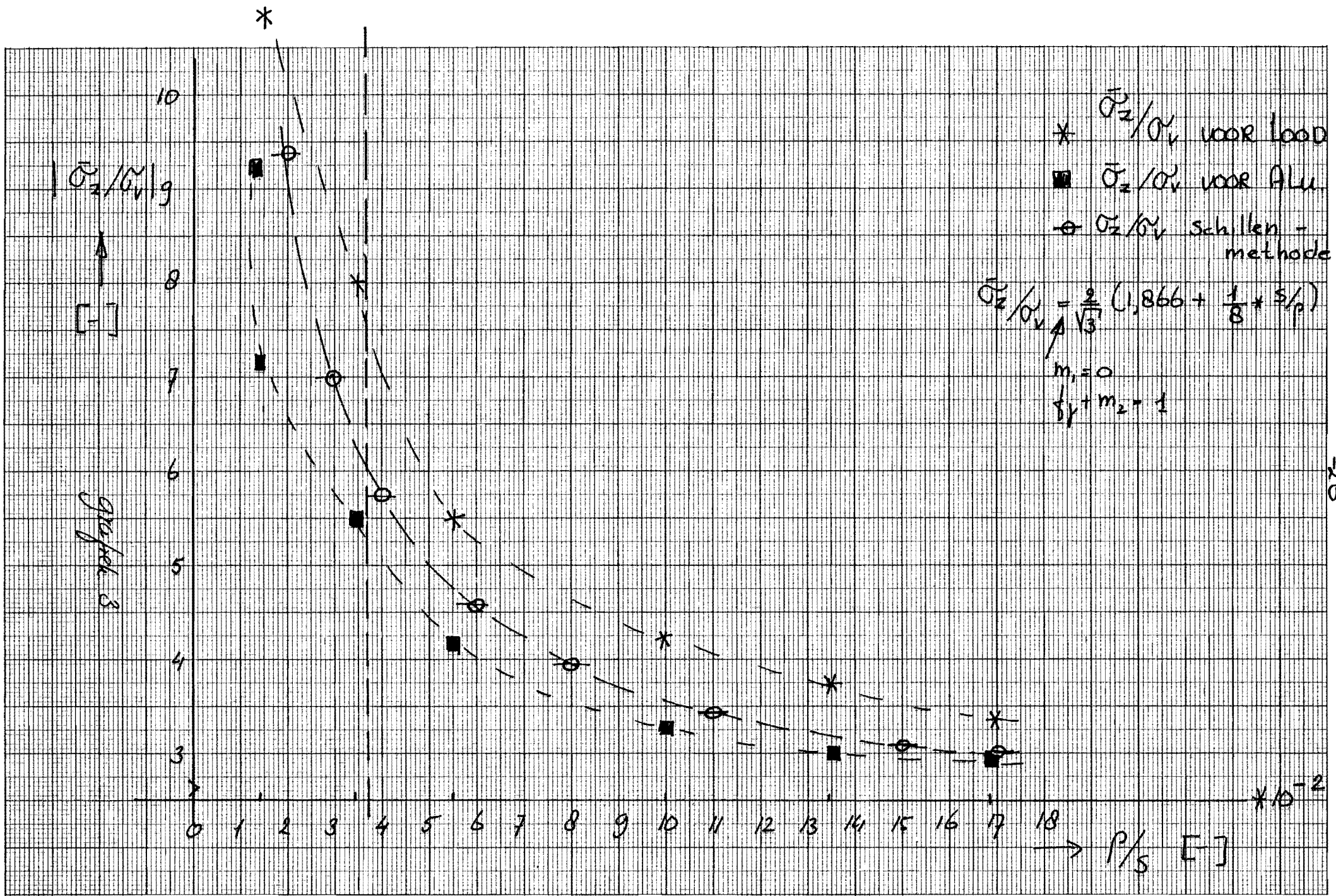
ready at Saturday September 1, 1984 12:27:04

Lood

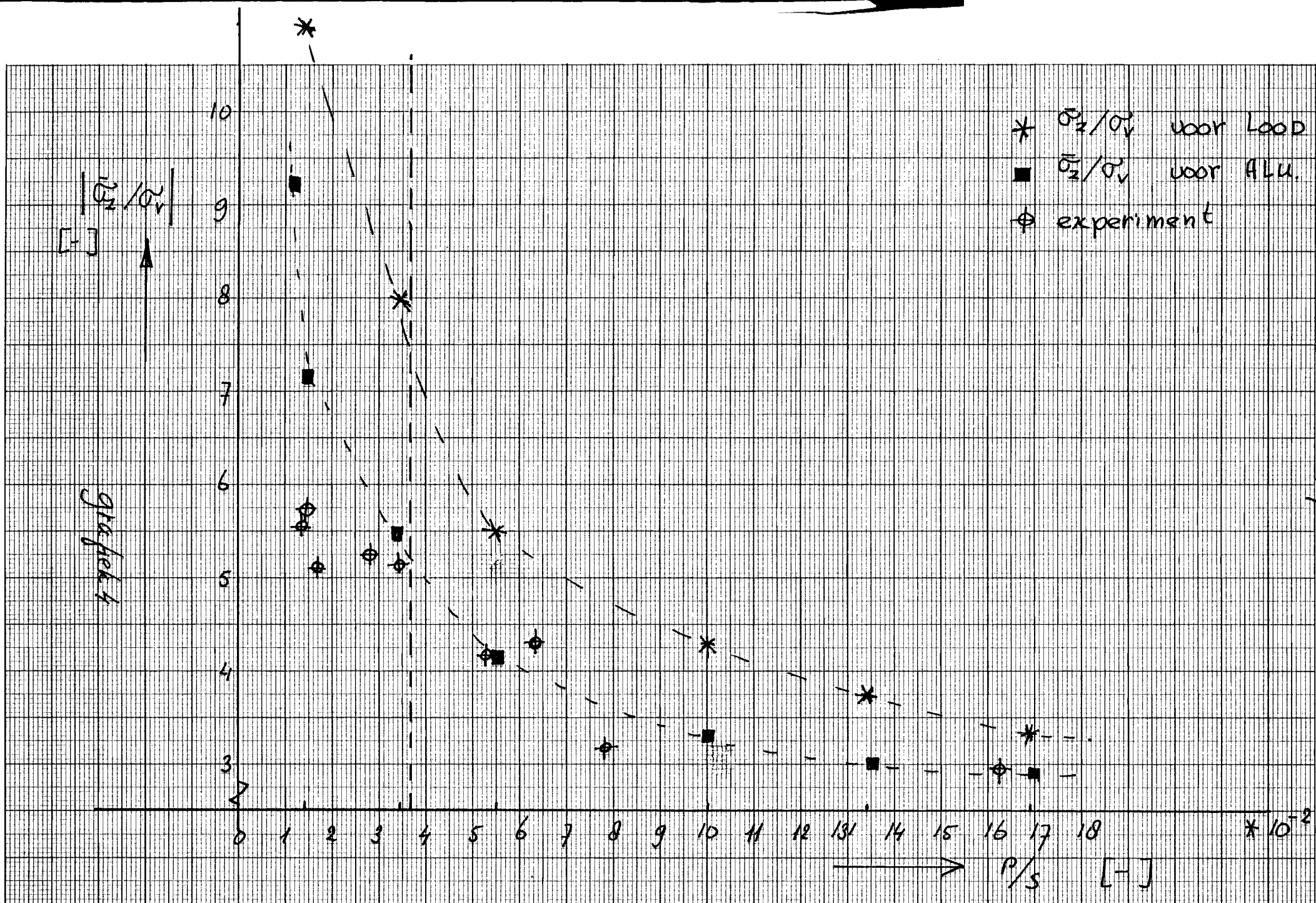
MARC MUNT.MRCIN MUNT.MRCOUT
started at Saturday September 1, 1984 03:00:20
Volume KLAD
111105 total records
38580 records available
65.3

MARC EXECUTION BEGINS
Volume KLAD
111105 total records
38060 records available
65.7

ready at Saturday September 1, 1984 08:02:48



grafiek 1



IV Besprekking resultaten

In de grafieken 3 en 4 op blz 26 en 27 zien we dat de lyn van lood hoger ligt dan die van aluminium, ondanks dat de waarde σ_2 / σ_v dimensielos is gemaakt.

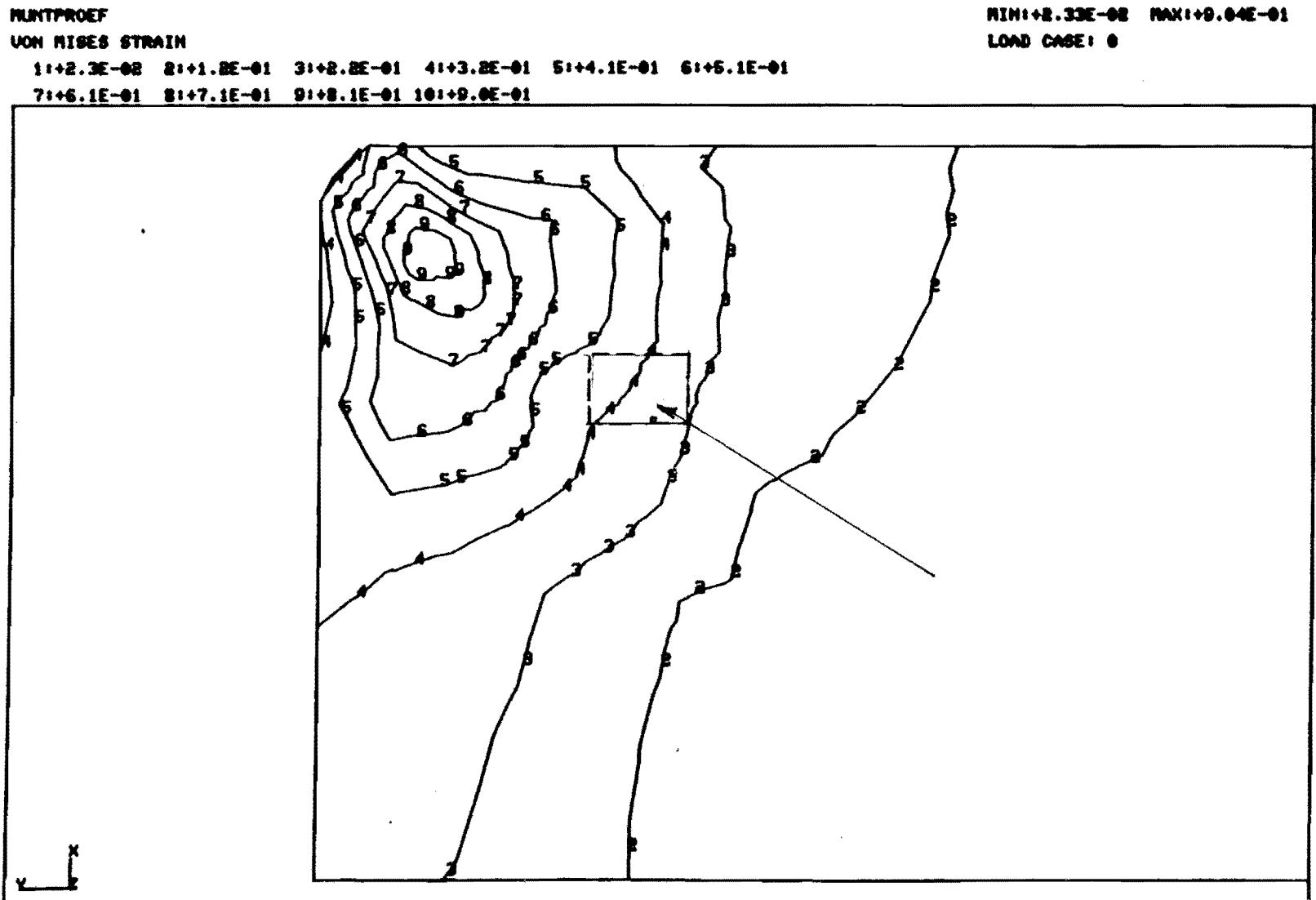
De oorzaak hiervan is waarschijnlyk terug te voeren naar het feit dat lood verstevigd en aluminium niet. Vooral bij grote deformaties ($\varepsilon/\varepsilon_s$ klein) is dit goed te zien.

De grootste deformatie vindt plaats in de hoek waar het materiaal naar toe stroomt (zie figuur 8). Door het verstevenen zal hier de vloeigrens aanzienlijk groter zijn dan op het vlak $z=0$.

Een beeld van de vloeistookspanning zien we in figuur 9. Er ontstaat als het ware een harde prop voor de uitstroom opening waardoor een grotere stempelkracht, en daardoor een grotere σ_2 nodig zal zijn in verhouding tot de vloeigrens.

Door evenwel een grotere vloeistookspanning in rekening te brengen (br. gemiddelde over de blank) kan men de grafiek van lood omhoog drukken.

fig 0
Ratkverdeling $\bar{\epsilon}$ voor load



MUNTPROEF

VON MISES STRAIN

11+2.2E-02 21+1.3E-01 31+2.3E-01 41+3.3E-01 51+4.3E-01 61+5.4E-01
71+6.4E-01 81+7.4E-01 91+8.5E-01 101+9.5E-01

MINI+2.21E-02 MAXI+9.50E-01

LOAD CASE: 0

SALU

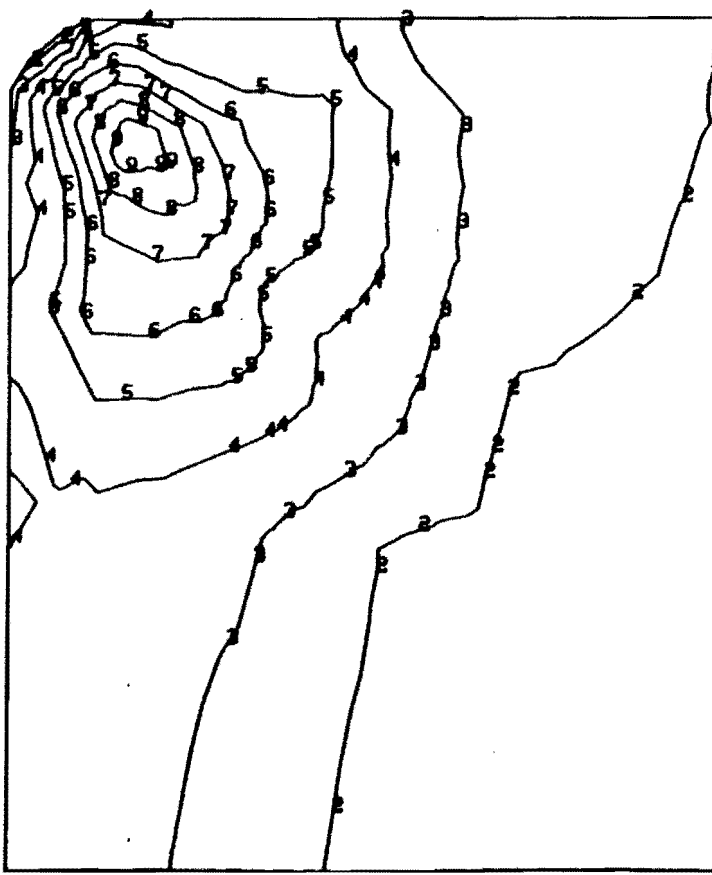


fig 8a

Rekverdeling $\bar{\epsilon}$ voor Allu

MUNTPROEF
VON MISES STRESS

1: +1.8E+01 2: +2.3E+01 3: +2.7E+01 4: +3.2E+01 5: +3.6E+01 6: +4.1E+01
7: +4.5E+01 8: +5.0E+01

MIN: +1.76E+01 MAX: +8.26E+01
LOAD CASE: 0

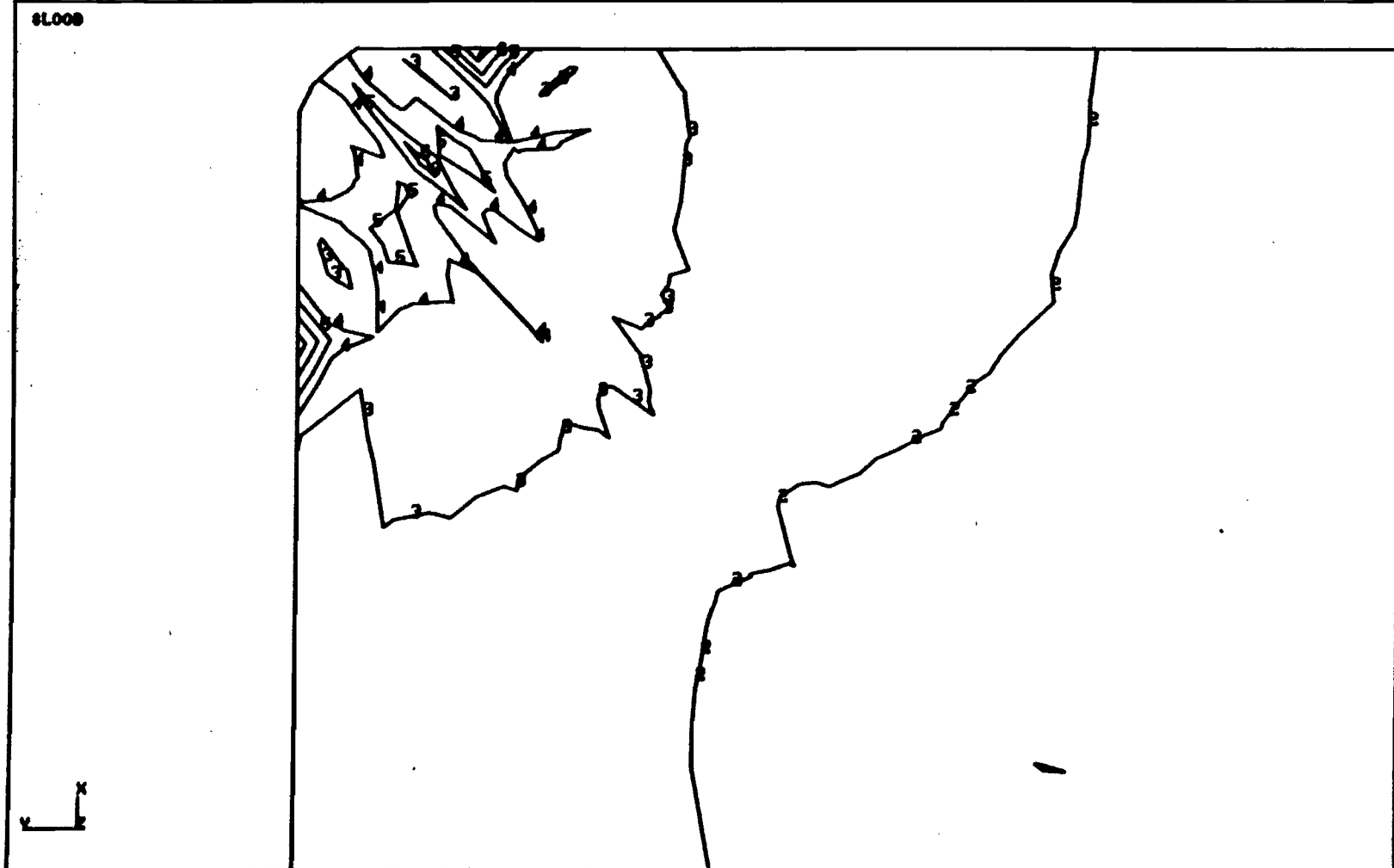


fig 9
σ_v verdeling over de blanke

III Vergelijking E.E.M. met experimentele resultaten.

In grafiek 4 op blz 27 staan ook de experimentele gevonden data uit.

Dese experimentele gegevens zijn overgenomen uit lit [4]. We zien dat in eerste instantie de berekenings resultaten vooral bij grote P/s in de buurt liggen van de experimentele gegevens.

Echter links van de aangebrachte stippelijn worden de verschillen steeds groter, de berekende spanningen vallen te hoog uit.

De stippelijn geeft dan ook de scheiding weer tot waarvan de kromke straal r nog door voldoende elementen wordt beschreven.

In bylage II is dit stap 16. Stap 17, 18 en 19 liggen links van de stippelijn. De kromke straal r ligt hier binnen een element grens. Er is ook nauwlyks verschil te ontdekken in de drie latere stappen.

De konstruktie is dus in dit stadium van de analyse veel stijver geworden, dan het geval zou zijn geweest indien men nog een fijner element verdeling zou hebben. Dit klopt ook met de stelling dat de EEM altijd een bovengrens geeft voor de stijfheid van een konstruktie.

VII Vergelyking E.E.M. met de schillen methode

In grafiek 3 op blz 26 staat ook de grafiek uit waar die verkregen is met de schillen methode.

Voor de aftrekking van de formule

$$\sigma_z / \sigma_v = \frac{2}{\sqrt{3}} \left(1,866 + \frac{f_f + m_2}{8} \times \frac{s}{\rho} \right) \text{ zie Lit [4]}$$

We zien dat de grafieken hetzelfde verloop vertonen

De ligging van de lyn zoals die verkregen is m.b.v.

de schillen methode wordt bepaald door de $(f_f + m_2)$

waarde. Hier is de grafiek getekend voor $f_f + m_2 = 1$

Dan gezien de schillen methode uitgaat van niet versteigend materiaal kan de lyn het best vergelijken worden met de lyn van Aluminium.

Men zou kunnen concluderen dat de waarde van $f_f + m_2$ kleiner dan 1 zou moeten zijn.

In feite verschafft de eindige elementen methode een uitspraak over de grootte van deze in de schillen-methode willekeurig te kiezen grootheid.

De schillen methode gaat uit van star-plastisch materiaal, de E.E.M. rekent elastisch-plastisch

De E.E.M. krijgt dus nog een eindige waarde voor de spanning indien de gravure helemaal opgevuld

zou zijn. In dien men het punt met de grootte σ_z / σ_v van de Alu-kromme buiten beschouwing laat om eerder genoemde redenen, dan loopt de lyn verkregen m.b.v. de schillen methode harder omhoog.

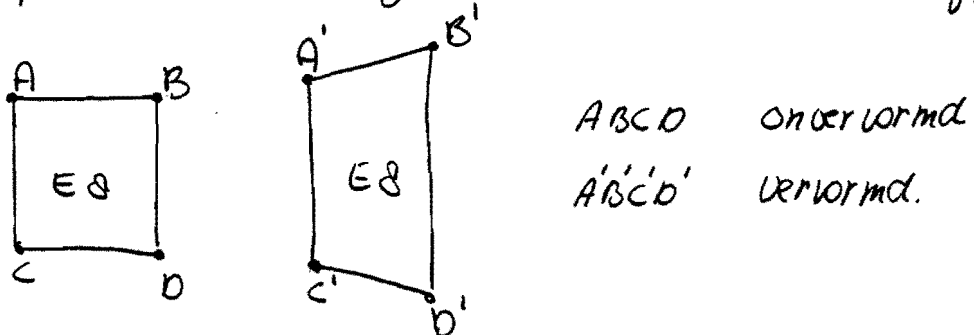
Vergelyking E.E.H met Raster opname.

In figuur 10 op blz 36 ziet u een raster foto van een door midden geraagde platine.

Het geeft 'n beeld van die deformatie soals die in werklikheid opgetreden is.

fig () stap 16 uit bylage II geeft het beeld soals die verformde structuur uitgerekend is

Opvallend is hierby element no 8 (zie ook fig 4)

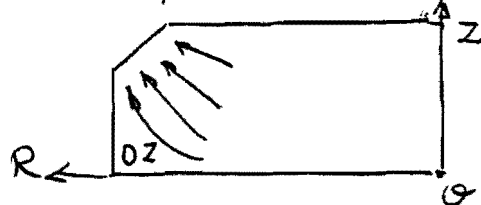


We sien dat punt A achter blyft by punt B.

Dit sien we ook terug in die raster foto by het eklem aangegeven met die pyl.

Dit kan by die experiment aan die wrywing gelede hebben. Die berekening is slegs wrywings los uitgevoer, waardoor er naар een ander oorzaak gereach moet word.

Een ander oorzaak kan sien het op treden van sgn dode zones. Door dese dode zone blyft die snelheid van punt A achter by die van punt B (zie onder)



Verder kunnen aan de hand van de vervormde vierkantjes globaal de \bar{E} bepalen in de platine. We doen dit voor de met dubbele pyl aangegeven vervormde vierkant. (fig 10) De plaats van dit gebiedje is globaal weergegeven in fig 8 door het ingekleurde vierkant.

Door te meten over een diagonaal en aan te nemen dat dit een hoofdrichting is komen we op een logarithmische rek van $\ln \frac{13}{10} \approx 0,27$ Deze waarde ligt in de buurt van de waarden uitgerekend in het vierkant op blz 29. Hierbij moet nog opgemerkt worden dat het niet exact te achterhalen is of de stadia van deformatie van beide figuren gelijk zijn (d.w.z. dezelfde ρ hebben). Uit de rasterfoto is niet te achterhalen of de rekenen van 0,81 in werkelijkheid ook voor komen.

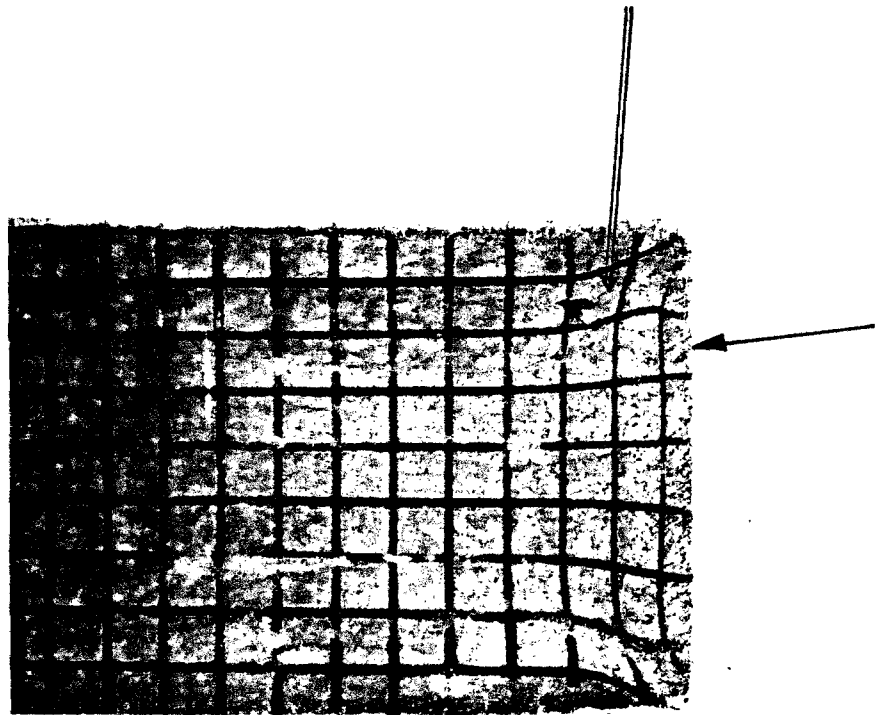


fig 10

Rasteropname

overgenomen uit lit [4]

IX Opmerkingen over slingeringen σ-grafieken.

De spanningsgrafieken van bijlage III en IV vertonen een opslenging in de buurt van $R = 20$ mm.

(zie ook fig 6)

Dit opslengen gebeurt juist daar waar de elementen van langwerpige rechthoeken overgaan naar een soort Wyber vorm.

Het zou dus kunnen dat er een interpretatie fout bestaat tussen de berekende gegevens van "MARC" en het naloop programma "SDRC / OUTPUT DISPLAY". "MARC" werkt nl. met in dit geval 9 integrapunten in het element. "SDRC / OUTPUT DISPLAY" gebruikt voor zijn plaatjes de 8 knooppunten op de rand.

By de rechthoeken liggen de integrapunten moei gelijkmatig verdeeld, en boren dient heerst er in dat gedeelte van de mesh een uniforme spanning verdeling.

Een vertaal fout zit in het eerste deel niet op te vallen

Indien er een vertaal fout zit tussen deze twee

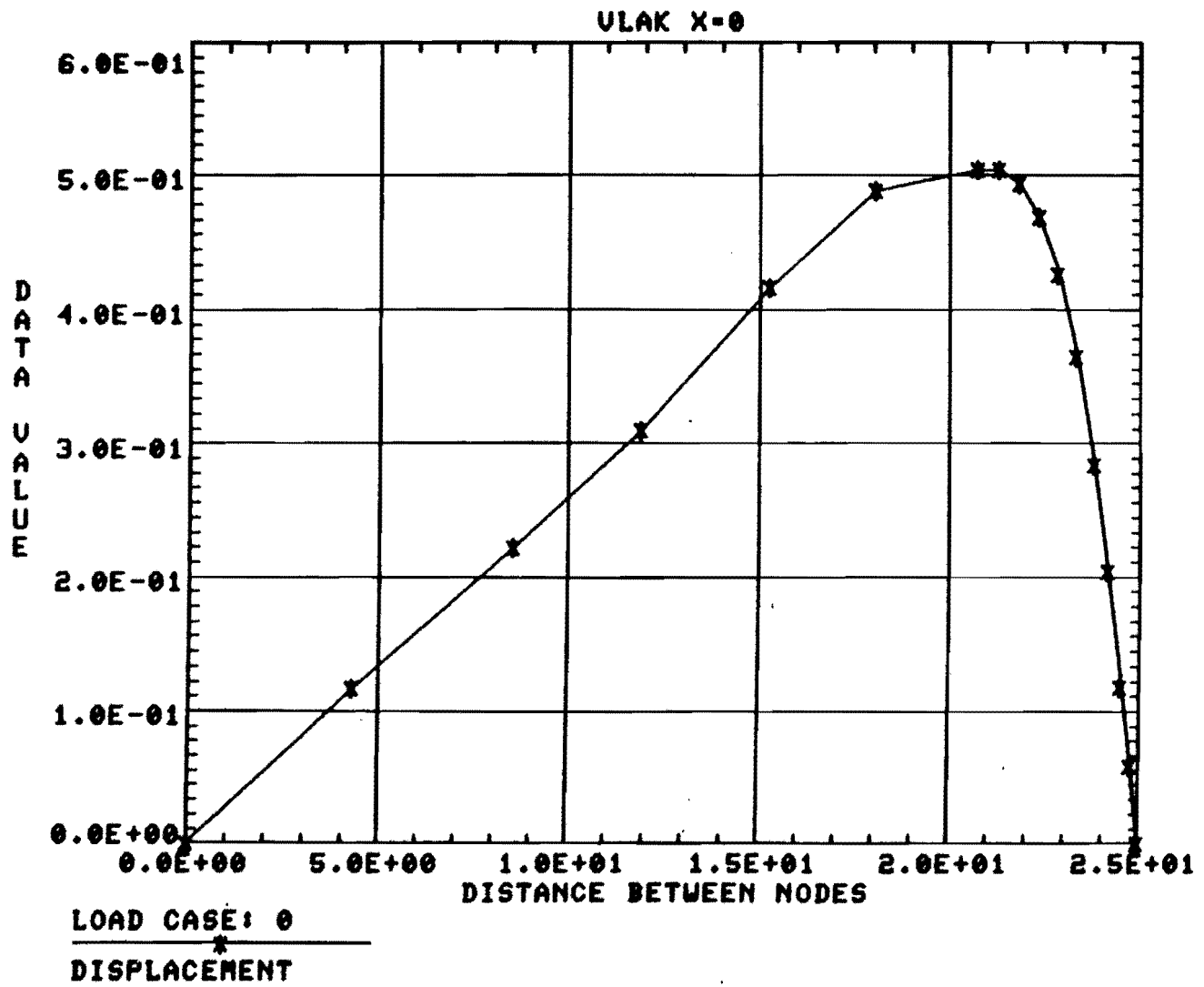
programma's zal die het sterkst tot leiding komen

By de wijvervormige elementen.

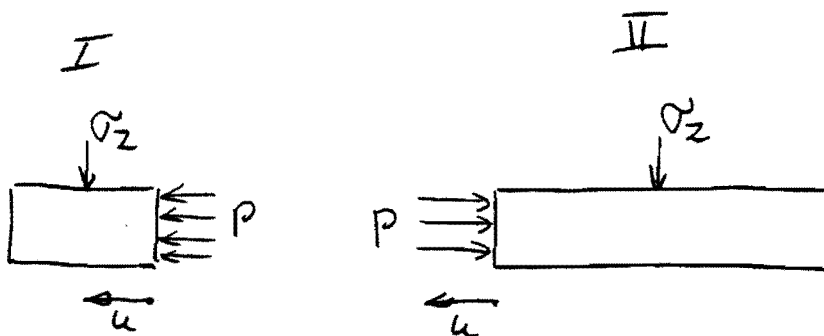
Een andere oorzaak kan de ligging van de maximale verplaatsing in R richting over het vlak $x=0$ zijn.

Beglyken we figuur 11 op blz 38 dan zien we dat de maximale verplaatsing ook in de buurt van $R = 20$ mm optreedt.

11.64



We kunnen hierdoor het probleem op splitsen in twee problemen nl.

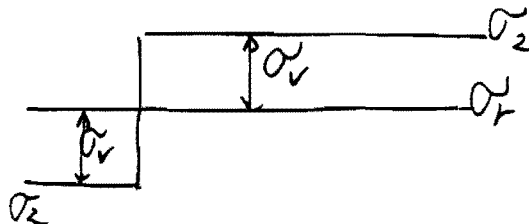


$$\text{In gebied I geldt: } |\rho| = |\sigma_r| > |\sigma_z|$$

$$\text{in gebied II geldt: } |\rho| = |\sigma_r| < |\sigma_z|$$

We krygen dus een vry sterke gradient van σ_z over de R-richting.

De schillen methode geeft onderstaande oplossing



$\leftarrow I \rightleftharpoons \text{II} \rightarrow$

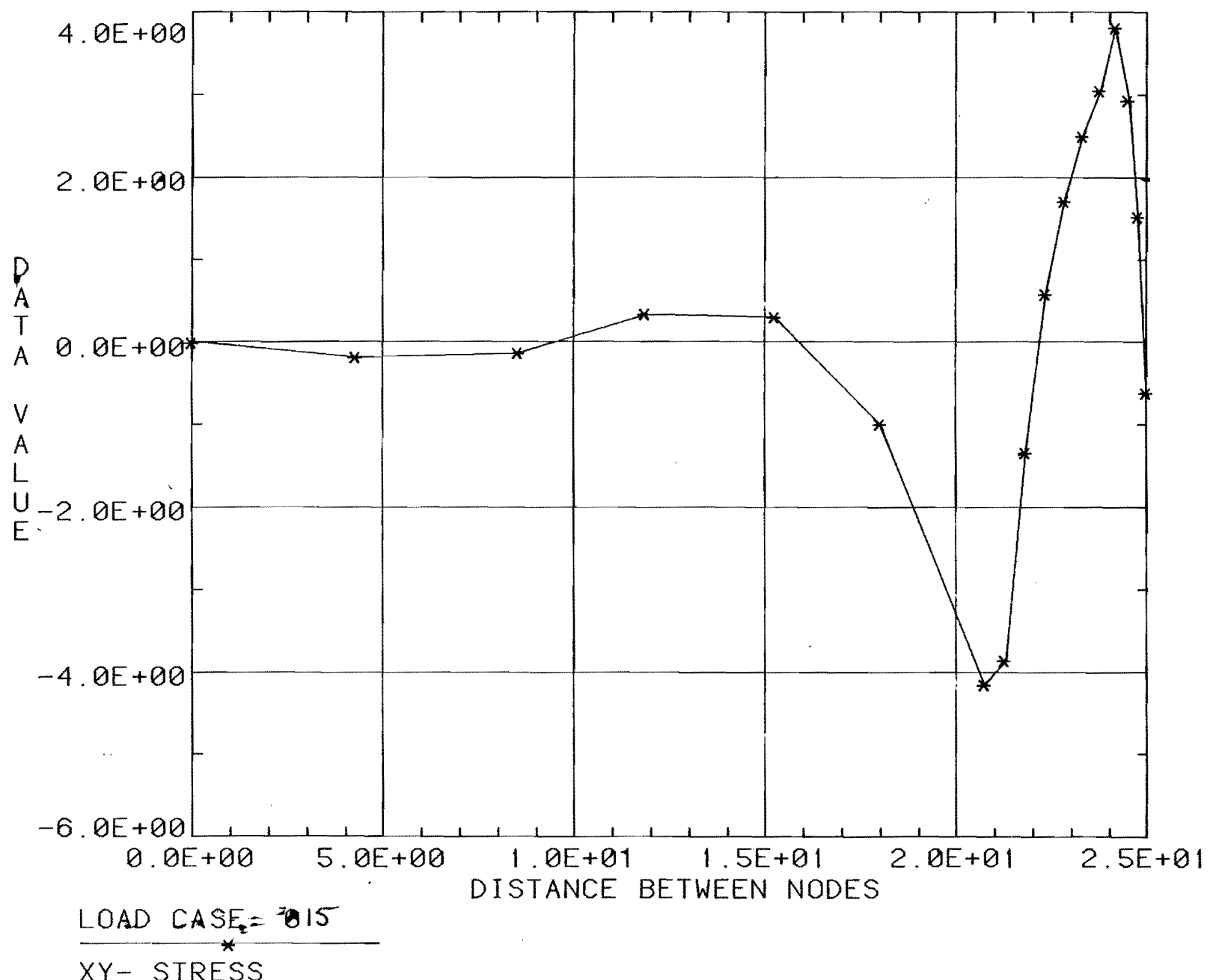
de spanningssprong wordt hier opgevangen door een scheurspanning τ in z richting die vrij lokaal werkt. Dit beeld is enigzins terug te vinden in figuur 12 blz 41 waar de scheurspanning is uitgezet. Het zou kunnen dat deze snelle gradiënten niet goed kan beschrijven. De fout kan dus in de oplossingsprocedere zitten.

Bovendien moet opgemerkt worden dat de slingeringen alleen optreden bij de plastiche incrementen.

Het huidde increment (elastische begin stap) geeft moeie kontinue spanningsplaatjes (niet opgenomen in verslag). Dit pleit voor het verticaal programma wat dan wel instaat is om de data uit de integratie punten te transformeren naar de element knooppunten.

3164

VLAK X=0



CONCLUSIES

De eindige elementen methode geeft een goede benadering voor het verplaatsings - en kr. veld.

Over de nauwkeurigheid van de spanningen kan in dit stadium nog geen uitspraak gedaan worden.

In de eerste plaats ligt de oorzaak van het slingeren van de spanningen nog niet vast.

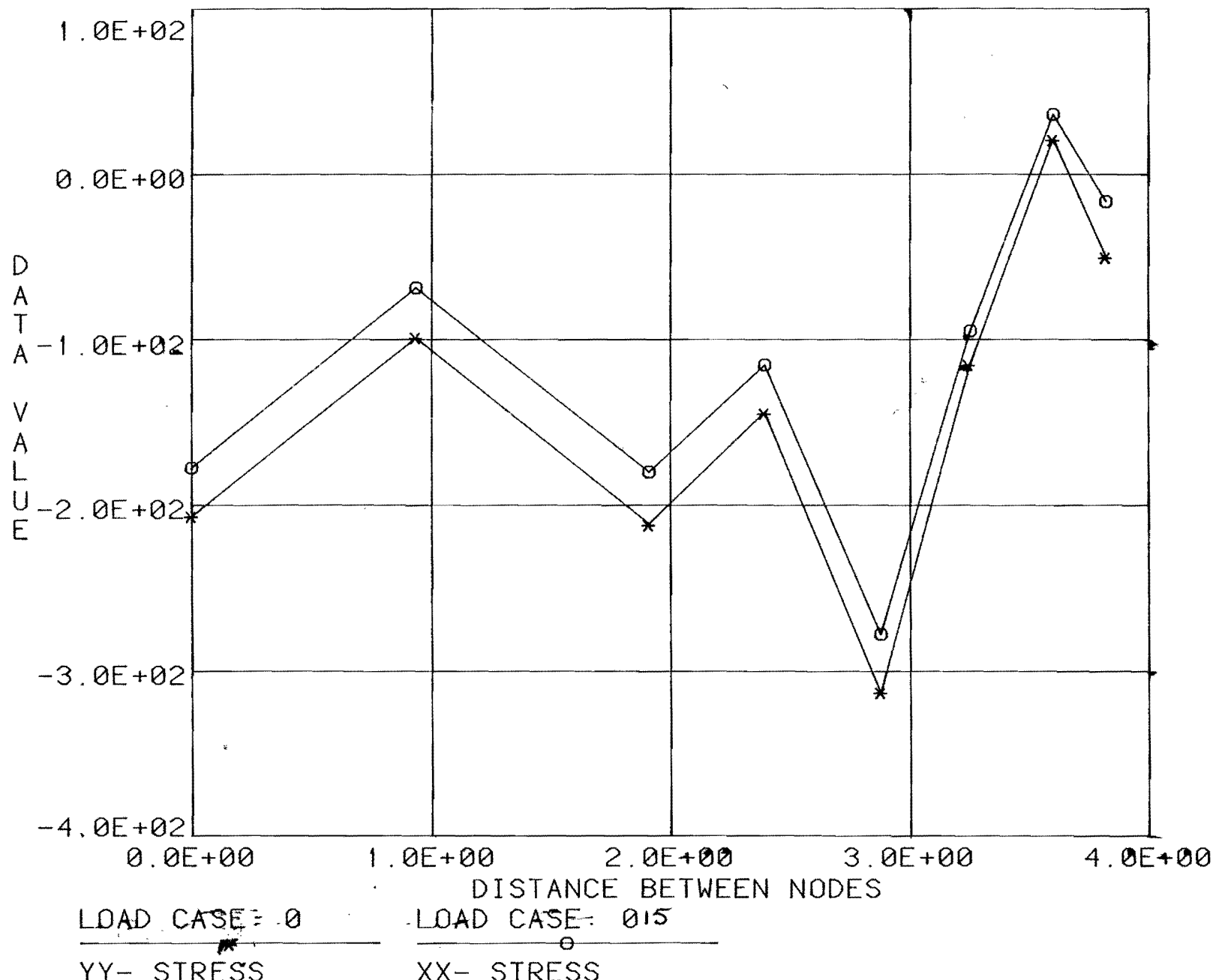
In de tweede plaats is blykbaar de spanning in het eerste stuk van de grafiek toch voldoende nauwkeurig om de grafieken om te bepalen, welke weer redelyk overeen komen met de andere berekenings methode.

Het is zeker de moeite waard om uit te zoeken waar de slingeringen van gaan komen.

We kunnen dan ook een uit spraak doen over de Δt op de munt ring. (door het slingerende karakter (zie fig 13) kan hier geen juist uitspraak over gedaan worden.

NH

R = 25



LITERATUUR LIJST

- [1] Hans Leysen,
SDRC software als pre - en post processor
in combinatie met het marc - pakket.
Een eenvoudig voorbeeld. Jan 1984
- [2] MARC, finite element program.
User manual Volume A, B en C
- [2] SDRC / users manual for model creation
cross-section analysis and output display
- [4] H.J. Goolaar,
Toetsen van Rekenmodellen voor inwendige
spansingen aan experimentele waarden bij
het munten.
W.P.B. rapport nr 0114 aug - 84

Bylage I

MARC INVOER.

TITLE MUNTPROOF
SIZING 200000
ELEMENTS 12 28
ALL POINTS
UPDATE
FINITE
END
POST
14, 16, 17, 0, 1,
1,
2,
3,
4,
7,
11,
12,
13,
14,
21,
22,
23,
24,
27,
CONTROL
30, 30,,
0.05,
PRINT CHOICE
1, 1,
1, 1,
1, 1,
COORDINATES

	3	240	0	1
1	0.0000	0.0000	0.0000	
2	0.0000	4.1529	0.0000	
3	0.5417	0.0000	0.0000	
4	0.0000	8.3058	0.0000	
5	1.0833	0.0000	0.0000	
6	0.0000	11.5737	0.0000	
7	0.5417	8.3058	0.0000	
8	1.0833	4.1529	0.0000	
9	1.6250	0.0000	0.0000	
10	0.0000	14.8416	0.0000	
11	1.0833	8.3058	0.0000	
12	2.1667	0.0000	0.0000	
13	0.0000	17.5458	0.0000	
14	0.5417	14.8416	0.0000	
15	1.0833	11.5737	0.0000	
16	1.6250	8.3058	0.0000	
17	2.1667	4.1529	0.0000	
18	2.7083	0.0000	0.0000	
19	0.0000	20.2500	0.0000	
20	1.0833	14.8416	0.0000	
21	2.1667	8.3058	0.0000	
22	3.2500	0.0000	0.0000	

23	0.0000	20.7917	0.0000
24	0.5417	20.2500	0.0000
25	0.8287	21.0787	0.0000
26	1.0833	17.5458	0.0000
27	1.6250	14.8416	0.0000
28	2.1667	11.5737	0.0000
29	2.7083	8.3058	0.0000
30	3.2500	4.1529	0.0000
31	3.7020	0.0000	0.0000
32	0.0000	21.3333	0.0000
33	1.0833	20.2500	0.0000
34	1.6574	21.9074	0.0000
35	2.1667	14.8416	0.0000
36	3.2500	8.3058	0.0000
37	4.1540	0.0000	0.0000
38	0.0000	21.8750	0.0000
39	0.8075	21.9064	0.0000
40	1.6250	20.2500	0.0000
41	1.6564	21.0575	0.0000
42	1.9486	21.8871	0.0000
43	1.6371	22.1986	0.0000
44	2.2037	22.4537	0.0000
45	2.1667	17.5458	0.0000
46	2.7083	14.8416	0.0000
47	3.7020	8.3058	0.0000
48	3.2500	11.5737	0.0000
49	4.1540	4.1529	0.0000
50	4.4520	0.0000	0.0000
51	0.0000	22.4167	0.0000
52	1.6150	22.4795	0.0000
53	2.1667	20.2500	0.0000
54	2.2295	21.8650	0.0000
55	2.7500	23.0000	0.0000
56	3.2500	14.8416	0.0000
57	4.1540	8.3058	0.0000
58	4.7500	0.0000	0.0000
59	0.0000	22.9583	0.0000
60	0.7826	22.7135	0.0000
61	2.0992	22.8230	0.0000
62	1.5910	22.7500	0.0000
63	2.7083	20.2500	0.0000
64	2.4635	21.0325	0.0000
65	2.5001	21.8410	0.0000
66	2.5731	22.3491	0.0000
67	2.9760	23.2260	0.0000
68	2.6667	23.0833	0.0000
69	2.8333	22.9167	0.0000
70	3.2500	17.5458	0.0000
71	3.7020	14.8416	0.0000
72	4.1540	11.5737	0.0000
73	4.4520	8.3058	0.0000
74	4.7500	4.1529	0.0000
75	0.0000	23.5000	0.0000
76	1.5651	23.0103	0.0000

77	2.5833	23.1667	0.0000
78	3.2500	20.2500	0.0000
79	2.7603	21.8151	0.0000
80	2.9167	22.8333	0.0000
81	3.2020	23.4520	0.0000
82	4.1540	14.8416	0.0000
83	4.7500	8.3058	0.0000
84	0.7539	23.5000	0.0000
85	0.0000	23.9520	0.0000
86	1.9909	23.1718	0.0000
87	1.5374	23.2603	0.0000
88	2.5000	23.2500	0.0000
89	2.7566	23.4454	0.0000
90	3.7020	20.2500	0.0000
91	3.2500	21.0039	0.0000
92	3.0103	21.7874	0.0000
93	2.9218	22.2409	0.0000
94	3.1954	23.0066	0.0000
95	3.0000	22.7500	0.0000
96	3.3311	23.3229	0.0000
97	3.0730	23.5810	0.0000
98	3.3510	23.6010	0.0000
99	4.1540	17.5458	0.0000
100	4.4520	14.8415	0.0000
101	4.7500	11.5737	0.0000
102	1.5078	23.5000	0.0000
103	0.0000	24.4040	0.0000
104	2.4167	23.3333	0.0000
105	2.9439	23.7101	0.0000
106	4.1540	20.2500	0.0000
107	3.2500	21.7578	0.0000
108	3.0833	22.6667	0.0000
109	3.4601	23.1939	0.0000
110	3.5000	23.7500	0.0000
111	4.7500	14.8416	0.0000
112	1.8789	23.5000	0.0000
113	1.5078	23.9520	0.0000
114	0.7539	24.4040	0.0000
115	0.0000	24.7020	0.0000
116	2.3333	23.4167	0.0000
117	2.5207	23.6813	0.0000
118	3.0751	23.8769	0.0000
119	2.7933	23.8607	0.0000
120	4.1540	21.0039	0.0000
121	4.4520	20.2500	0.0000
122	3.7020	21.7577	0.0000
123	3.2500	22.1289	0.0000
124	3.4313	22.7707	0.0000
125	3.1667	22.5833	0.0000
126	3.6269	23.3251	0.0000
127	3.6107	23.0433	0.0000
128	0.0000	1.0000	0.0000
129	1.0000	0.0000	0.0000
130	3.3562	23.8938	0.0000

131	3.6438	23.6062	0.0000
132	4.7500	17.5458	0.0000
133	2.2500	23.5000	0.0000
134	1.5078	24.4040	0.0000
135	0.0000	25.0000	0.0000
136	2.6427	24.0113	0.0000
137	3.2124	24.0376	0.0000
138	4.1540	21.7577	0.0000
139	4.7500	20.2500	0.0000
140	3.2500	22.5000	0.0000
141	3.7613	22.8927	0.0000
142	3.7876	23.4624	0.0000
143	1.0000	-0.0000	0.0000
144	-0.0000	1.0000	0.0000
145	0.0000	1.0000	0.0000
146	1.0000	0.0000	0.0000
147	1.0000	0.0000	0.0000
148	0.0000	1.0000	0.0000
149	2.2500	23.9520	0.0000
150	1.5078	24.7020	0.0000
151	1.8789	24.4040	0.0000
152	0.7539	25.0000	0.0000
153	2.7329	24.2191	0.0000
154	2.4463	24.2077	0.0000
155	1.0000	0.0000	0.0000
156	0.0000	1.0000	0.0000
157	3.0216	24.2284	0.0000
158	4.1540	22.1289	0.0000
159	4.4520	21.7577	0.0000
160	4.7500	21.0039	0.0000
161	3.7020	22.5000	0.0000
162	3.9691	22.9828	0.0000
163	3.9577	22.6963	0.0000
164	1.0000	0.0000	0.0000
165	0.0000	1.0000	0.0000
166	3.9784	23.2716	0.0000
167	3.5000	26.5000	0.0000
168	6.2500	23.7500	0.0000
169	1.0000	-0.0000	0.0000
170	-0.0000	1.0000	0.0000
171	-0.0000	1.0000	0.0000
172	1.0000	-0.0000	0.0000
173	2.2500	24.4040	0.0000
174	1.5078	25.0000	0.0000
175	2.8308	24.4192	0.0000
176	-0.0000	1.0000	0.0000
177	1.0000	-0.0000	0.0000
178	0.0000	1.0000	0.0000
179	1.0000	0.0000	0.0000
180	4.1540	22.5000	0.0000
181	4.7500	21.7577	0.0000
182	4.1692	23.0808	0.0000
183	-0.0000	1.0000	0.0000
184	1.0000	-0.0000	0.0000

185	1.0000	0.0000	0.0000
186	0.0000	1.0000	0.0000
187	3.3560	26.5000	0.0000
188	6.2500	23.8900	0.0000
189	6.2500	23.6000	0.0000
190	3.6430	26.5000	0.0000
191	2.2500	24.7020	0.0000
192	1.8789	25.0000	0.0000
193	1.0000	0.0000	0.0000
194	0.0000	1.0000	0.0000
195	2.5404	24.7096	0.0000
196	6.2500	24.0300	0.0000
197	3.2130	26.5000	0.0000
198	1.0000	-0.0000	0.0000
199	-0.0000	1.0000	0.0000
200	4.4520	22.5000	0.0000
201	4.7500	22.1289	0.0000
202	1.0000	0.0000	0.0000
203	0.0000	1.0000	0.0000
204	4.4596	22.7904	0.0000
205	6.2500	23.4600	0.0000
206	3.7870	26.5000	0.0000
207	-0.0000	1.0000	0.0000
208	1.0000	-0.0000	0.0000
209	2.2500	25.0000	0.0000
210	-0.0000	1.0000	0.0000
211	1.0000	-0.0000	0.0000
212	0.0000	1.0000	0.0000
213	1.0000	0.0000	0.0000
214	3.0210	26.5000	0.0000
215	6.2500	24.2200	0.0000
216	4.7500	22.5000	0.0000
217	-0.0000	1.0000	0.0000
218	1.0000	-0.0000	0.0000
219	1.0000	0.0000	0.0000
220	0.0000	1.0000	0.0000
221	6.2500	23.2700	0.0000
222	3.9780	26.5000	0.0000
223	1.0000	0.0000	0.0000
224	6.2500	24.4100	0.0000
225	2.8300	26.5000	0.0000
226	1.0000	-0.0000	0.0000
227	-0.0000	1.0000	0.0000
228	0.0000	1.0000	0.0000
229	6.2500	23.0800	0.0000
230	4.1690	26.5000	0.0000
231	-0.0000	1.0000	0.0000
232	1.0000	-0.0000	0.0000
233	-0.0000	1.0000	0.0000
234	2.5400	26.5000	0.0000
235	6.2500	24.7100	0.0000
236	1.0000	-0.0000	0.0000
237	6.2500	22.7900	0.0000
238	4.4590	26.5000	0.0000

239	6.2500	25.0000	0.0000
240	4.7500	26.5000	0.0000

CONNECTIVITY

51	12	142	164	183	205
52	12	131	147	171	189
53	12	110	129	144	168
54	12	130	146	170	188
55	12	137	155	176	196
56	12	157	179	199	215
57	12	175	193	210	224
58	12	195	213	227	235
59	12	209	223	233	239
60	12	195	212	226	234
61	12	175	194	211	225
62	12	157	178	198	214
63	12	137	156	177	197
64	12	130	145	169	187
65	12	110	128	143	167
66	12	131	148	172	190
67	12	142	165	184	206
68	12	166	186	208	222
69	12	182	203	218	230
70	12	204	220	232	238
71	12	216	228	236	240

PROPERTY

25
0.140E 05 0.300E 00 0.000E 00 0.000E 00 0.000E 00 0.150E 02 0.000E 00
1
1 TO 47
0.290E 00 0.000E 00 0.000E 00 0.000E 00 0.000E 00 0.000E 00 0.000E 00
0
48 TO 48
0.581E 00 0.000E 00 0.000E 00 0.000E 00 0.000E 00 0.000E 00 0.000E 00
0
49 TO 49
0.772E 00 0.000E 00 0.000E 00 0.000E 00 0.000E 00 0.000E 00 0.000E 00
0
50 TO 50
0.962E 00 0.000E 00 0.000E 00 0.000E 00 0.000E 00 0.000E 00 0.000E 00
0
51 TO 51
0.111E 01 0.000E 00 0.000E 00 0.000E 00 0.000E 00 0.000E 00 0.000E 00
0
52 TO 52
0.125E 01 0.000E 00 0.000E 00 0.000E 00 0.000E 00 0.000E 00 0.000E 00
0
53 TO 53
0.139E 01 0.000E 00 0.000E 00 0.000E 00 0.000E 00 0.000E 00 0.000E 00
0
54 TO 54
0.154E 01 0.000E 00 0.000E 00 0.000E 00 0.000E 00 0.000E 00 0.000E 00
0
55 TO 55
0.173E 01 0.000E 00 0.000E 00 0.000E 00 0.000E 00 0.000E 00 0.000E 00
0
56 TO 56
0.192E 01 0.000E 00 0.000E 00 0.000E 00 0.000E 00 0.000E 00 0.000E 00

0
57 TO 57
0.221E 01 0.000E 00 0.000E 00 0.000E 00 0.000E 00 0.000E 00 0.000E 00
0
58 TO 58
0.250E 01 0.000E 00 0.000E 00 0.000E 00 0.000E 00 0.000E 00 0.000E 00
0
59 TO 59
0.290E 00 0.000E 00 0.000E 00 0.000E 00 0.000E 00 0.000E 00 0.000E 00
0
60 TO 60
0.581E 00 0.000E 00 0.000E 00 0.000E 00 0.000E 00 0.000E 00 0.000E 00
0
61 TO 61
0.772E 00 0.000E 00 0.000E 00 0.000E 00 0.000E 00 0.000E 00 0.000E 00
0
62 TO 62
0.962E 00 0.000E 00 0.000E 00 0.000E 00 0.000E 00 0.000E 00 0.000E 00
0
63 TO 63
0.111E 01 0.000E 00 0.000E 00 0.000E 00 0.000E 00 0.000E 00 0.000E 00
0
64 TO 64
0.125E 01 0.000E 00 0.000E 00 0.000E 00 0.000E 00 0.000E 00 0.000E 00
0
65 TO 65
0.139E 01 0.000E 00 0.000E 00 0.000E 00 0.000E 00 0.000E 00 0.000E 00
0
66 TO 66
0.154E 01 0.000E 00 0.000E 00 0.000E 00 0.000E 00 0.000E 00 0.000E 00
0
67 TO 67
0.173E 01 0.000E 00 0.000E 00 0.000E 00 0.000E 00 0.000E 00 0.000E 00
0
68 TO 68
0.192E 01 0.000E 00 0.000E 00 0.000E 00 0.000E 00 0.000E 00 0.000E 00
0
69 TO 69
0.221E 01 0.000E 00 0.000E 00 0.000E 00 0.000E 00 0.000E 00 0.000E 00
0
70 TO 70
0.250E 01 0.000E 00 0.000E 00 0.000E 00 0.000E 00 0.000E 00 0.000E 00
0
71 TO 71
WORK HARD
3,,1,
90,0.0,
32.5,0.075,
14.4,0.175,
GEOMETRY
2
0.100E 01 0.100E 02 0.000E 00 0.000E 00 0.000E 00 0.000E 00 0.000E 00
1 TO 47
0.000E 00 0.000E 00 0.000E 00 0.000E 00 0.000E 00 0.000E 00 0.000E 00

48 TO 71

OLD

BOUNDARY CONDITIONS

92

1	1	1	1	0.000000E 00
1	1	2	2	0.000000E 00
2	2	1	1	0.000000E 00
3	3	2	2	0.000000E 00
4	4	1	1	0.000000E 00
5	5	2	2	0.000000E 00
6	6	1	1	0.000000E 00
9	9	2	2	0.000000E 00
10	10	1	1	0.000000E 00
12	12	2	2	0.000000E 00
13	13	1	1	0.000000E 00
18	18	2	2	0.000000E 00
19	19	1	1	0.000000E 00
22	22	2	2	0.000000E 00
23	23	1	1	0.000000E 00
31	31	2	2	0.000000E 00
32	32	1	1	0.000000E 00
37	37	2	2	0.000000E 00
38	38	1	1	0.000000E 00
50	50	2	2	0.000000E 00
51	51	1	1	0.000000E 00
58	58	1	1	-0.100000E-02
58	58	2	2	0.000000E 00
59	59	1	1	0.000000E 00
74	74	1	1	-0.100000E-02
75	75	1	1	0.000000E 00
83	83	1	1	-0.100000E-02
85	85	1	1	0.000000E 00
101	101	1	1	-0.100000E-02
103	103	1	1	0.000000E 00
111	111	1	1	-0.100000E-02
115	115	1	1	0.000000E 00
132	132	1	1	-0.100000E-02
135	135	1	1	0.000000E 00
135	135	2	2	0.000000E 00
139	139	1	1	-0.100000E-02
152	152	2	2	0.000000E 00
160	160	1	1	-0.100000E-02
167	167	1	1	0.000000E 00
167	167	2	2	0.000000E 00
168	168	1	1	-0.100000E-02
168	168	2	2	0.000000E 00
174	174	2	2	0.000000E 00
181	181	1	1	-0.100000E-02
187	187	1	1	0.000000E 00
187	187	2	2	0.000000E 00
188	188	1	1	-0.100000E-02
188	188	2	2	0.000000E 00
189	189	1	1	-0.100000E-02
189	189	2	2	0.000000E 00

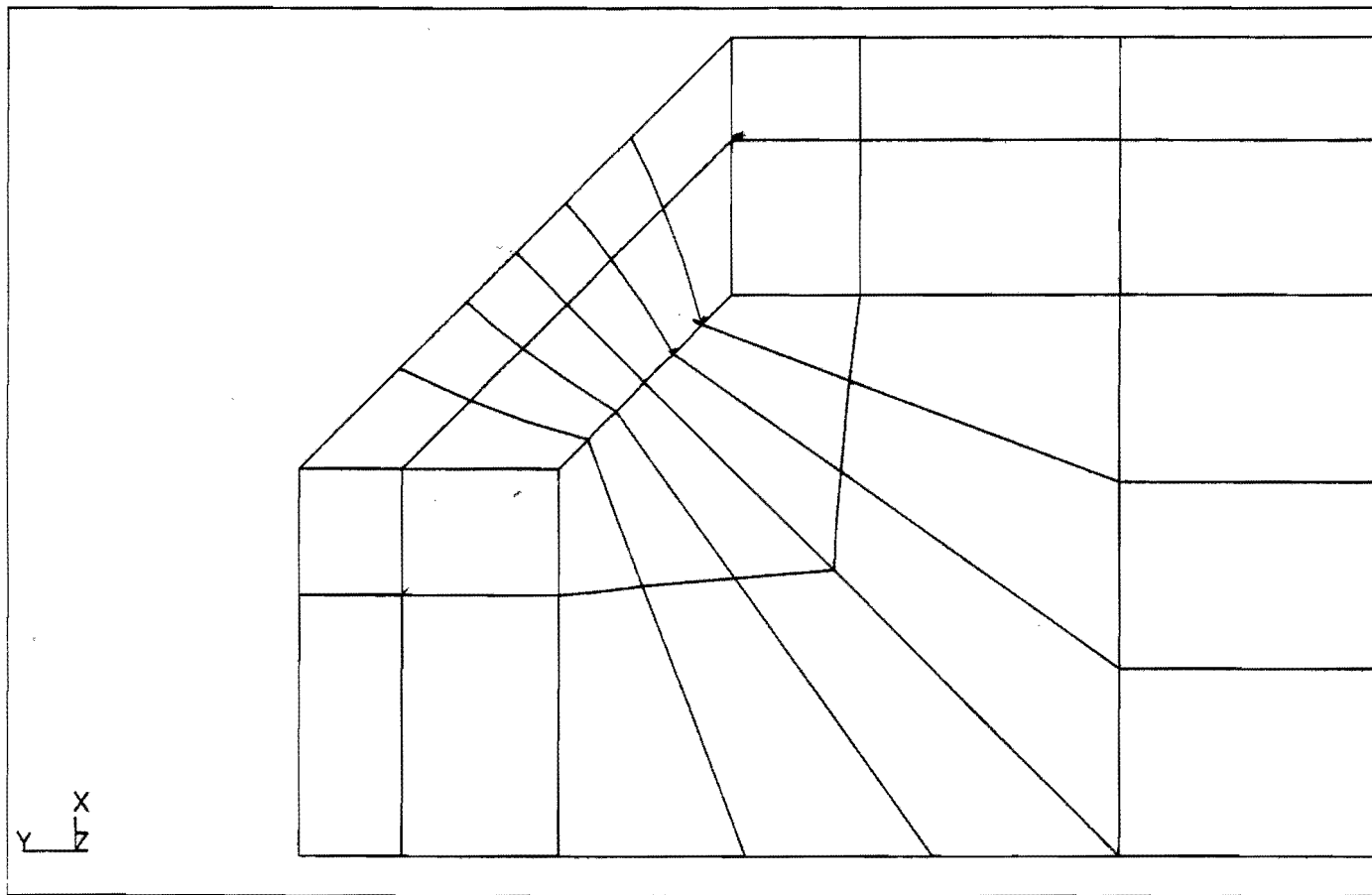
190	190	1	1	0.000000E 00
190	190	2	2	0.000000E 00
192	192	2	2	0.000000E 00
196	196	1	1	-0.100000E-02
196	196	2	2	0.000000E 00
197	197	1	1	0.000000E 00
197	197	2	2	0.000000E 00
201	201	1	1	-0.100000E-02
205	205	1	1	-0.100000E-02
205	205	2	2	0.000000E 00
206	206	1	1	0.000000E 00
206	206	2	2	0.000000E 00
209	209	2	2	0.000000E 00
214	214	1	1	0.000000E 00
214	214	2	2	0.000000E 00
215	215	1	1	-0.100000E-02
215	215	2	2	0.000000E 00
216	216	1	1	-0.100000E-02
221	221	1	1	-0.100000E-02
221	221	2	2	0.000000E 00
222	222	1	1	0.000000E 00
222	222	2	2	0.000000E 00
224	224	1	1	-0.100000E-02
224	224	2	2	0.000000E 00
225	225	1	1	0.000000E 00
225	225	2	2	0.000000E 00
229	229	1	1	-0.100000E-02
229	229	2	2	0.000000E 00
230	230	1	1	0.000000E 00
230	230	2	2	0.000000E 00
234	234	1	1	0.000000E 00
234	234	2	2	0.000000E 00
235	235	1	1	-0.100000E-02
235	235	2	2	0.000000E 00
237	237	1	1	-0.100000E-02
237	237	2	2	0.000000E 00
238	238	1	1	0.000000E 00
238	238	2	2	0.000000E 00
239	239	1	1	-0.100000E-02
239	239	2	2	0.000000E 00
240	240	1	1	0.000000E 00
240	240	2	2	0.000000E 00

NEW
END OPTION
AUTO LOAD
5,
PROPORTIONAL INCREMENT
0,10,
CONTINUE
AUTO LOAD
15,
PROPORTIONAL INCREMENT
0,2.5,
CONTINUE

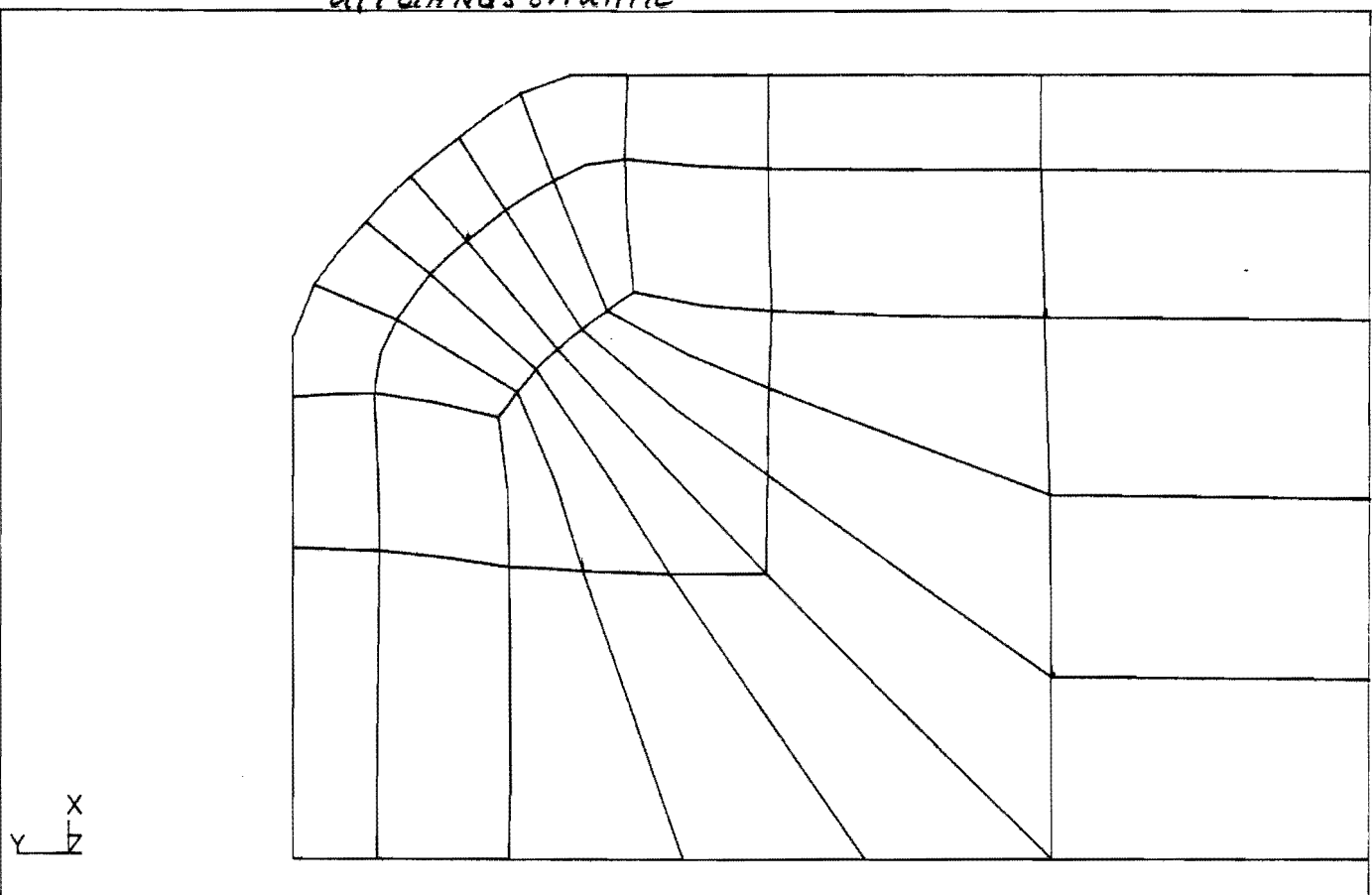
Bylage II

VERVORMDE MESHES

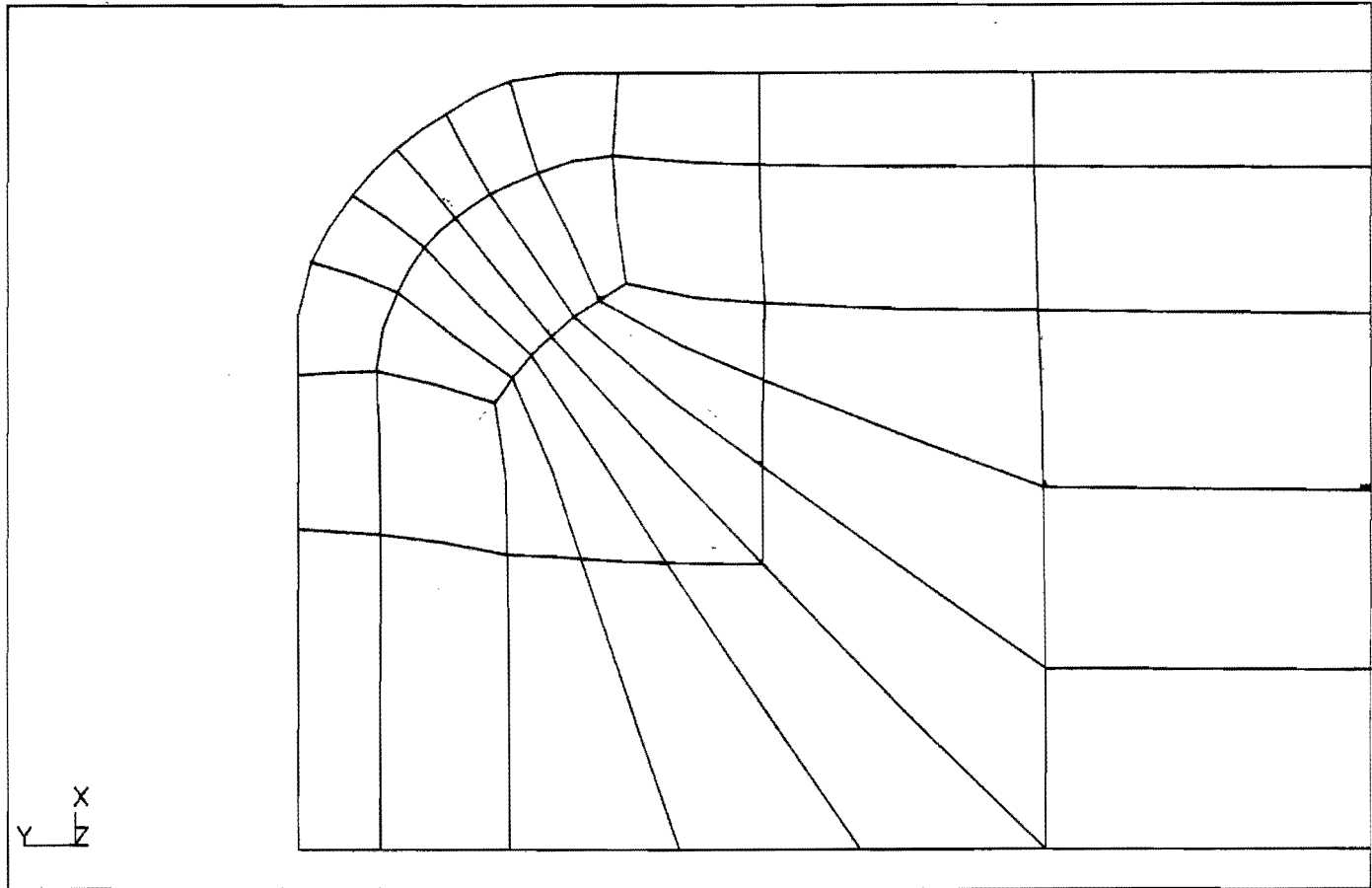
de aangegeven stappen
komen overeen met de stappen
zoals uitgedokt op blz 16/17



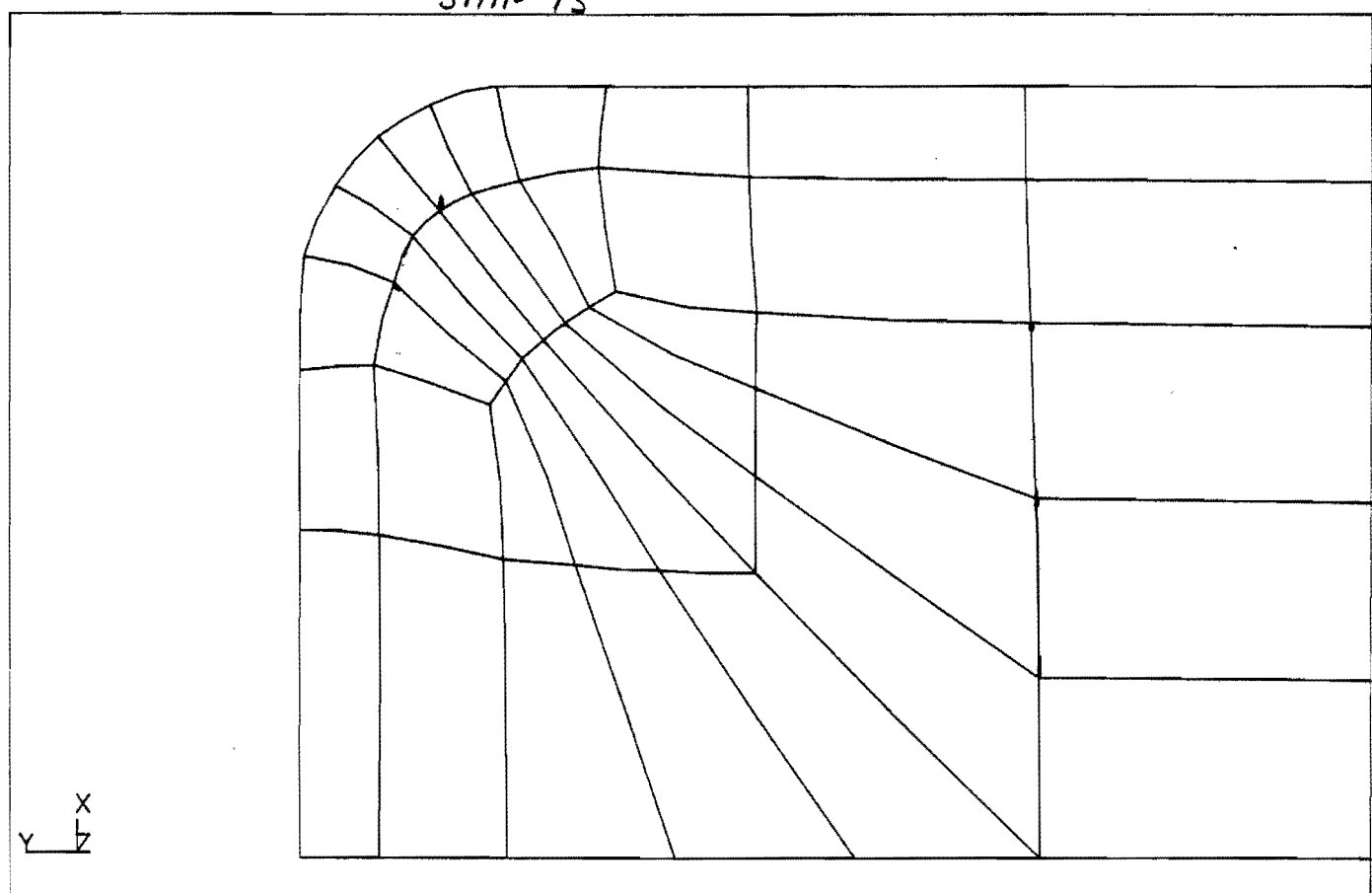
UITGANGSSITUATIE



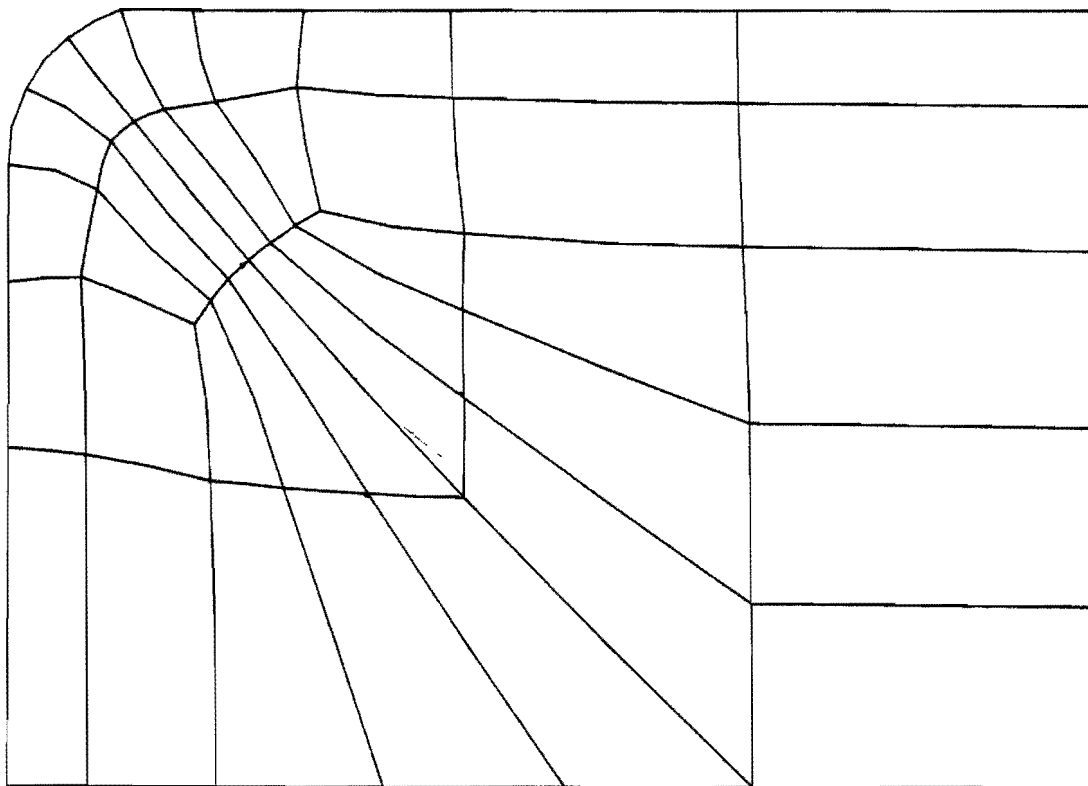
STAP 12



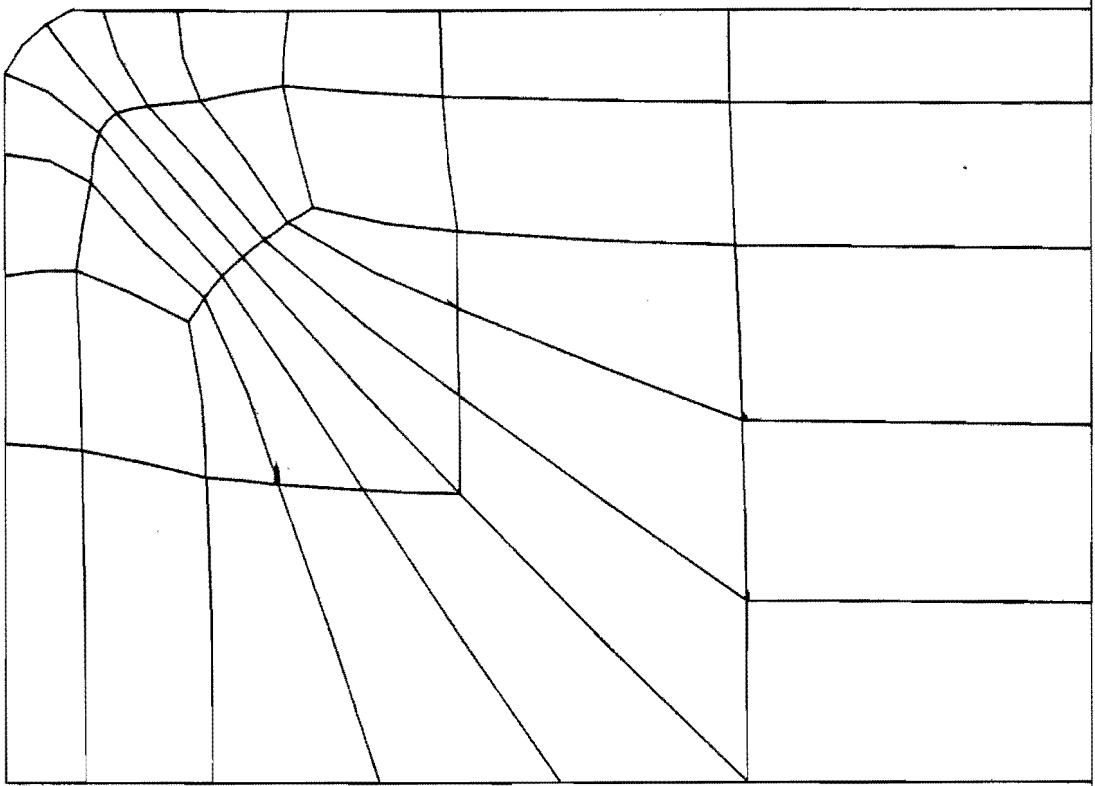
STAP 13



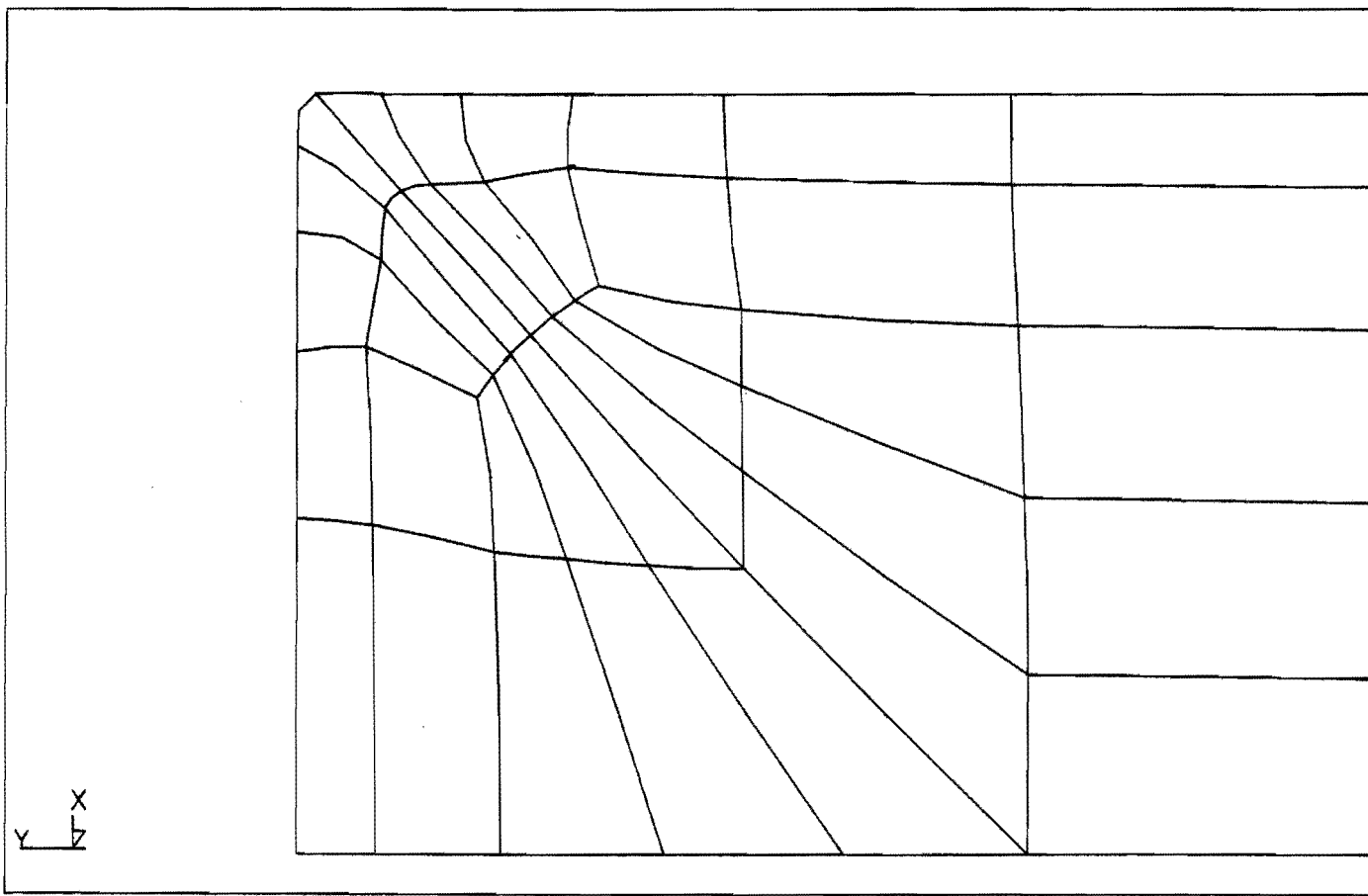
STAP 14



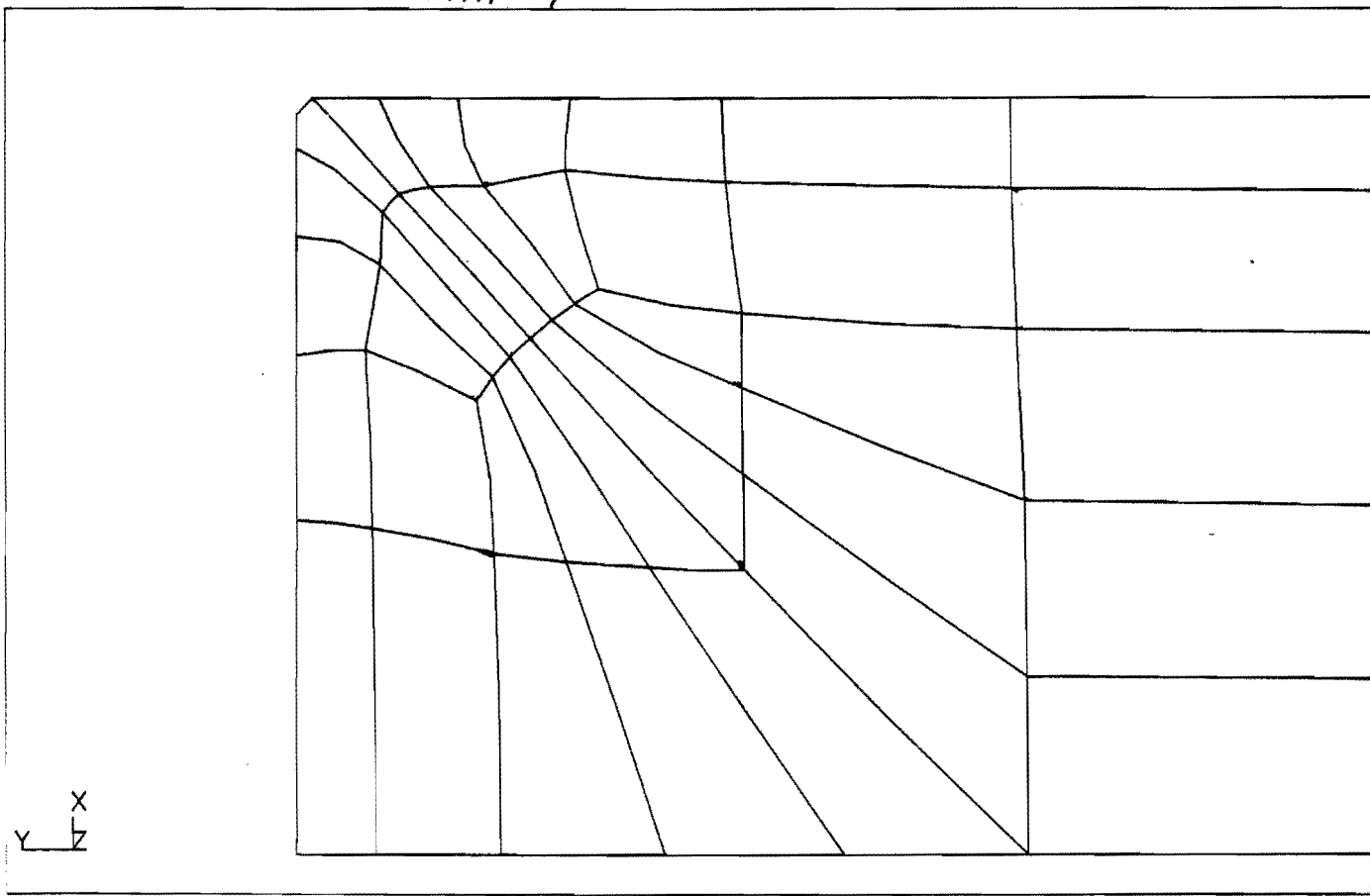
STAP 15



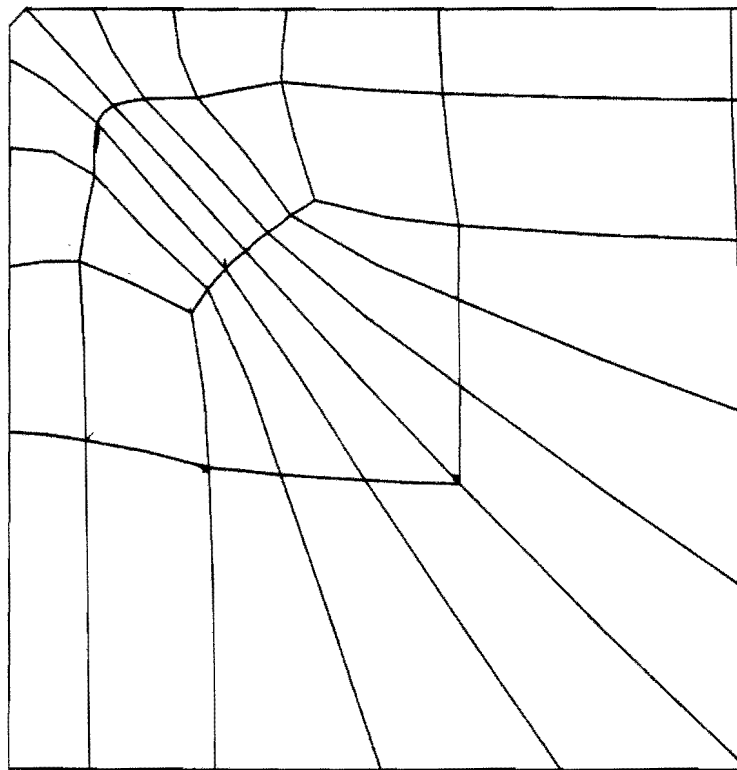
STAP 16



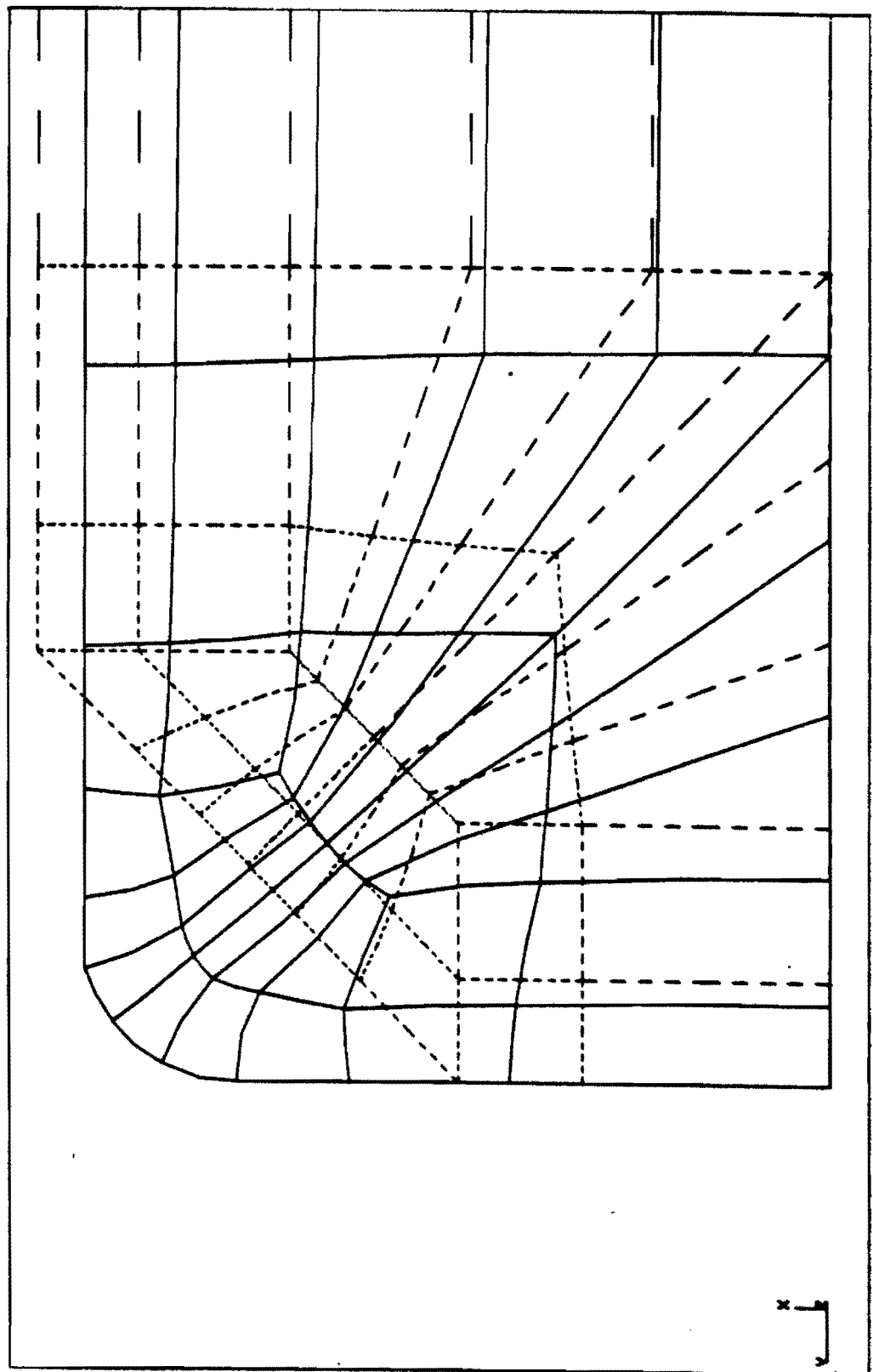
STAP 17



STAP 18



STAP '9



STAP 10

20 wel gevormd —

als ongevormd ---

Bylage III

Spanningen Lood

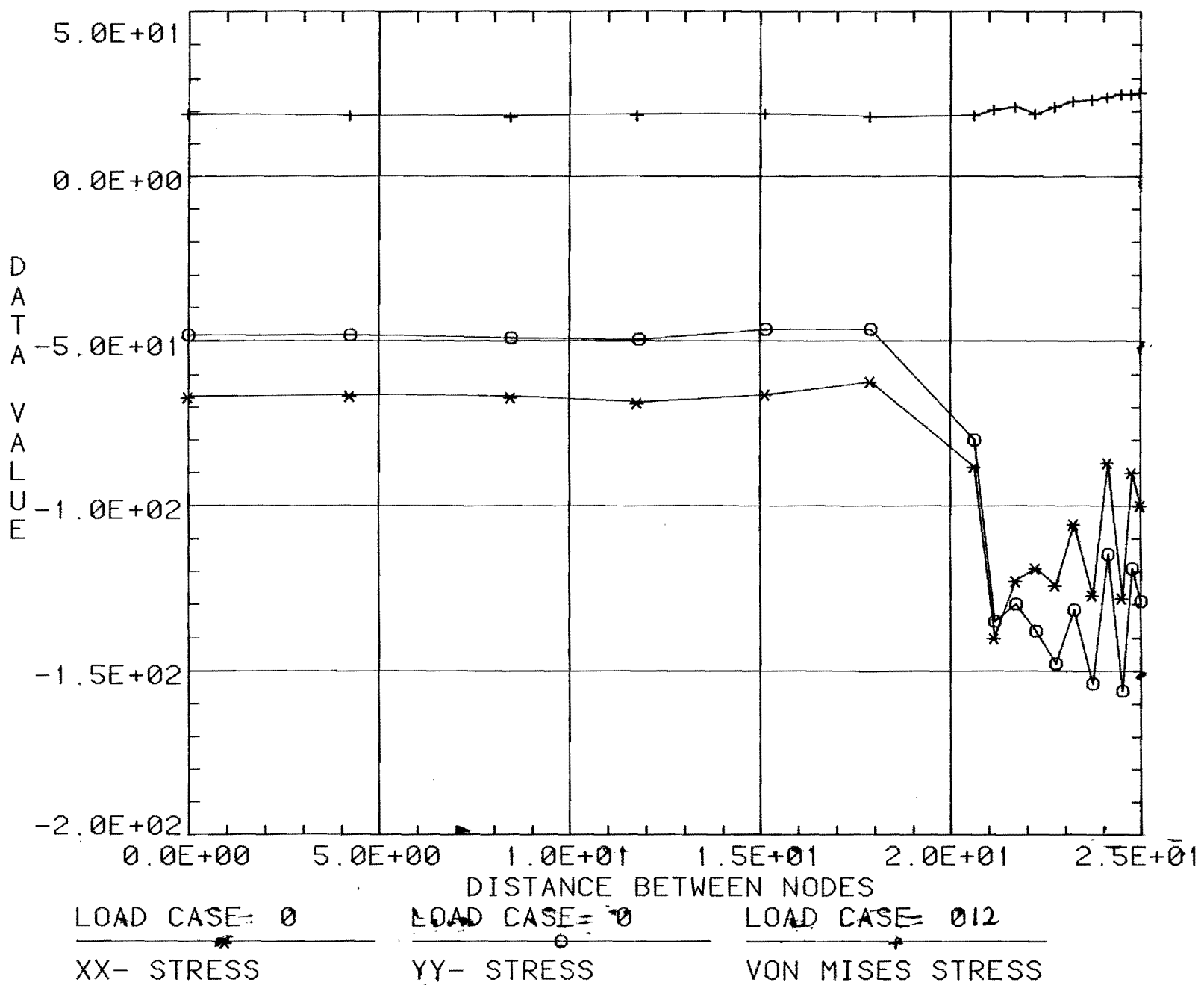
De aangegeven stappen komen overeen met de stappen van de vervormde meshes op bylage II

De spanningen zijn in de vorm van x-y-plots getekend

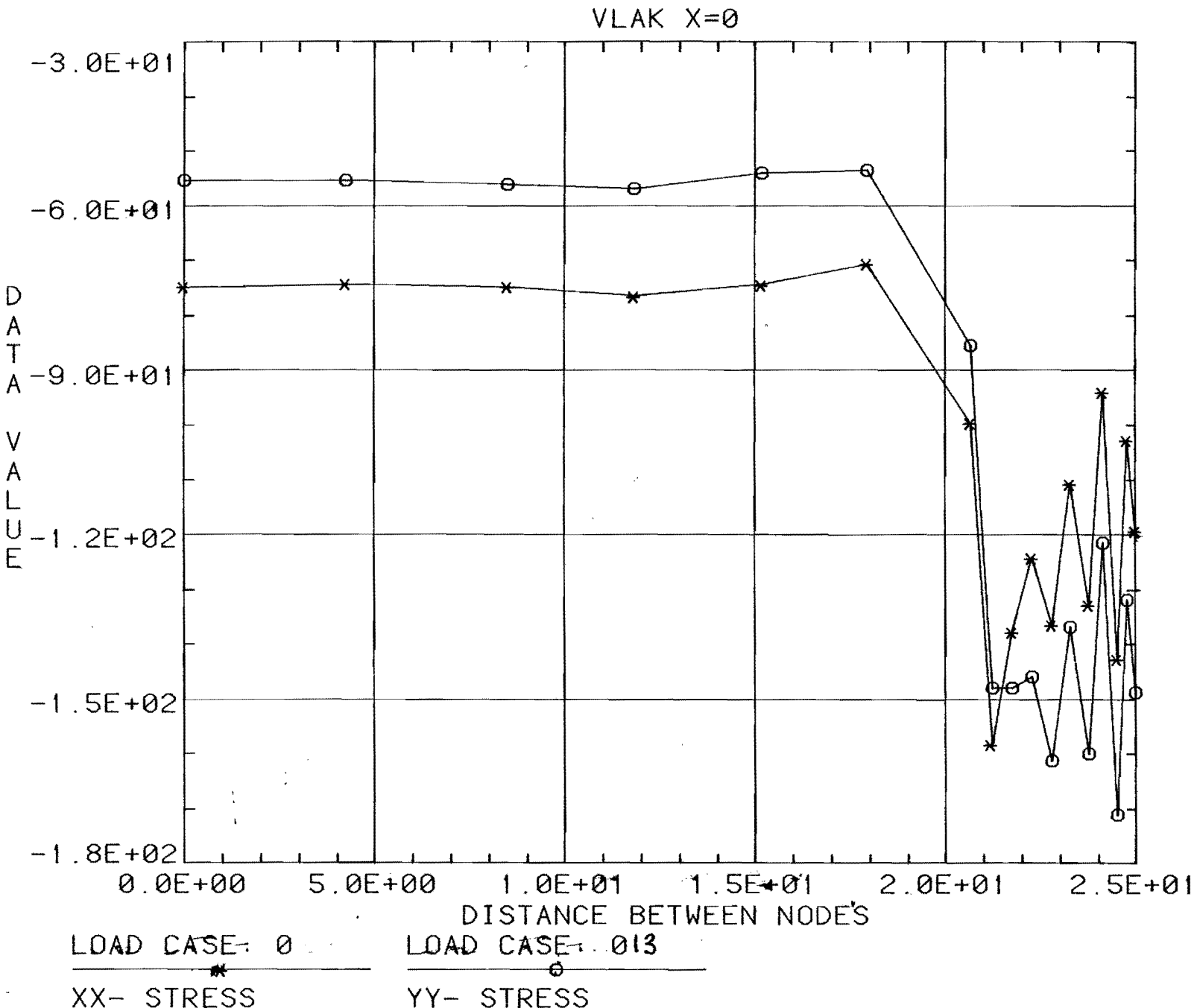
Hierbij is de x-as de afstand over de R-as vanaf $R=0$

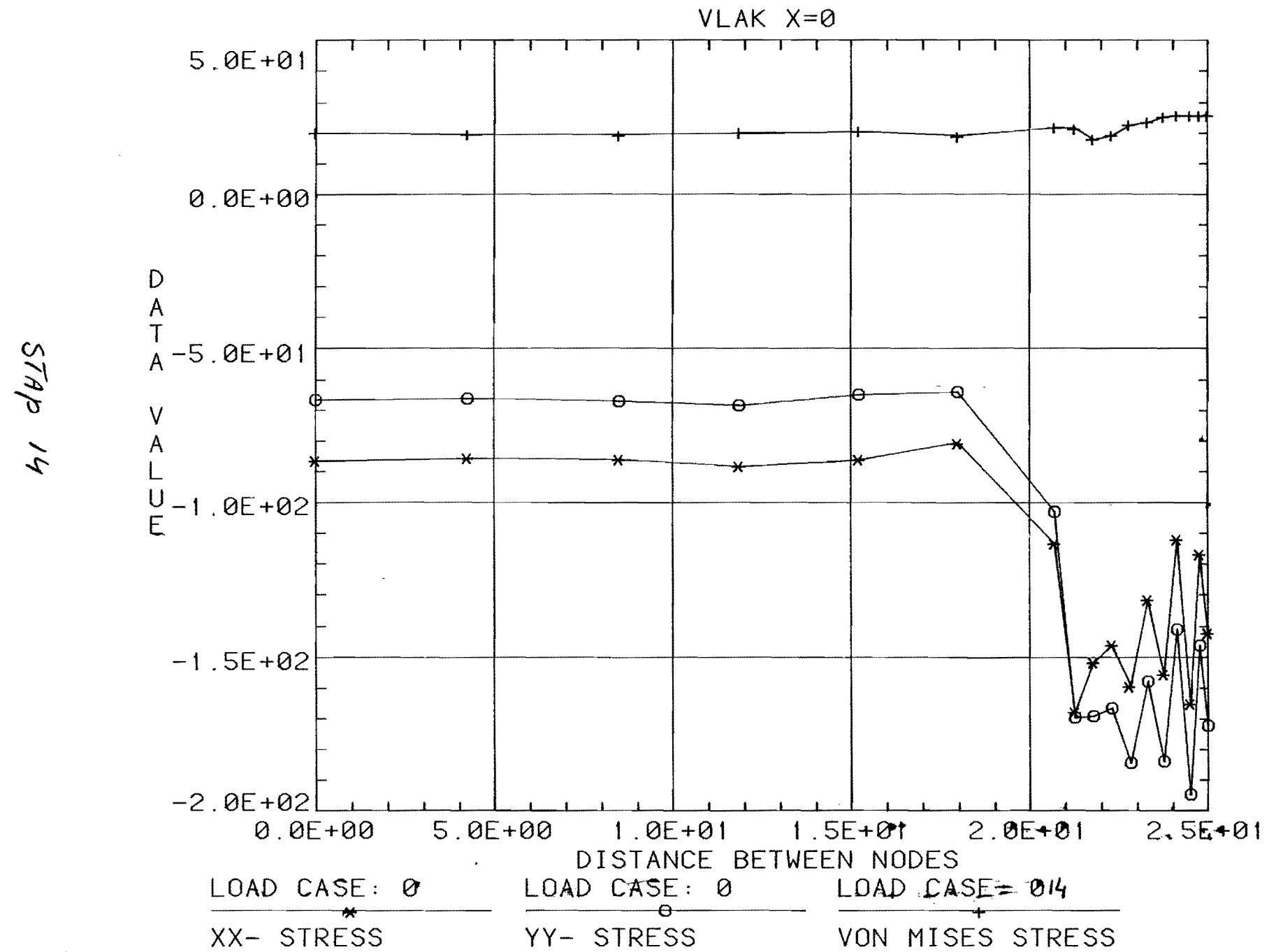
STRESS 12

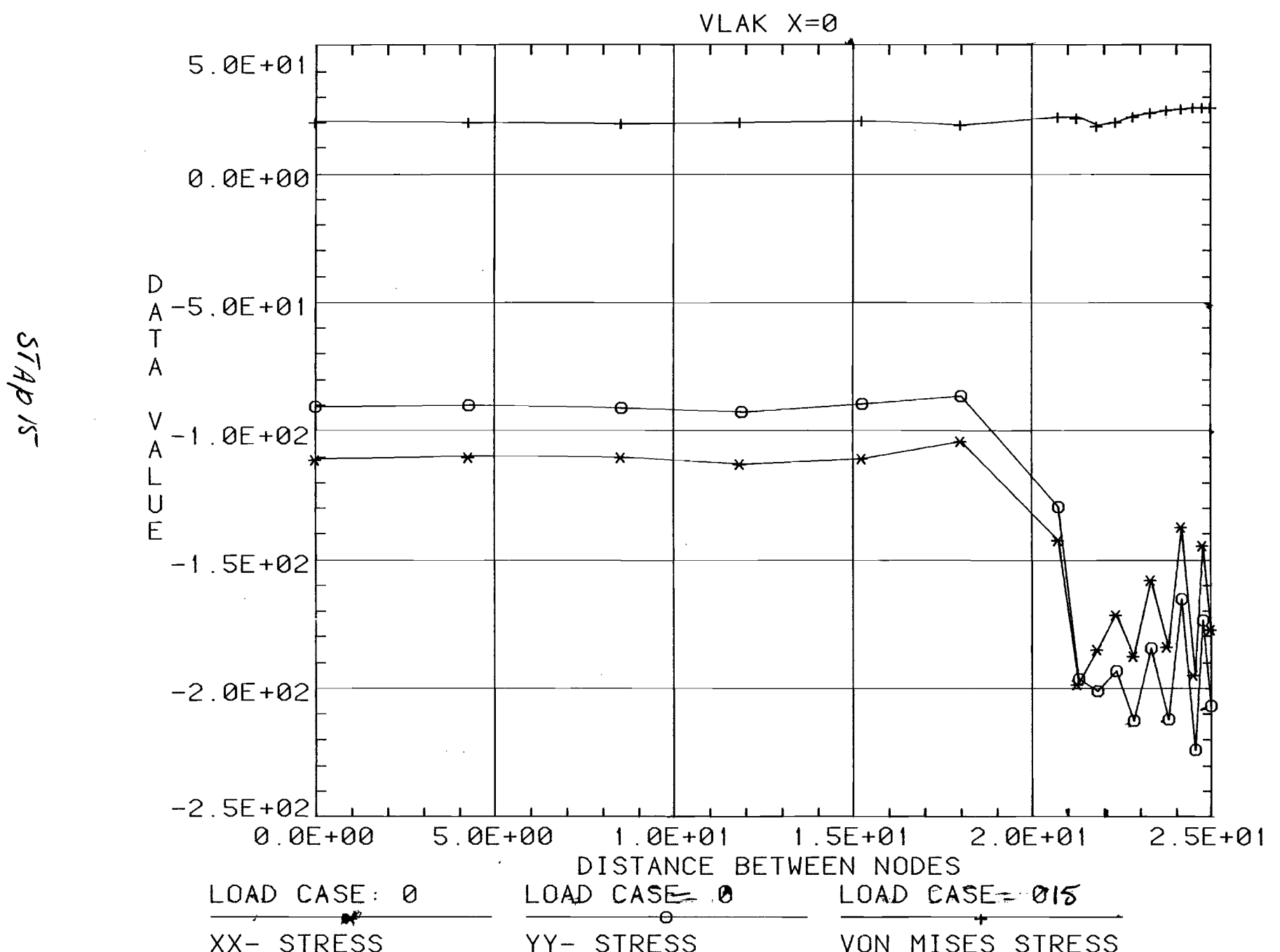
VLAK X=0



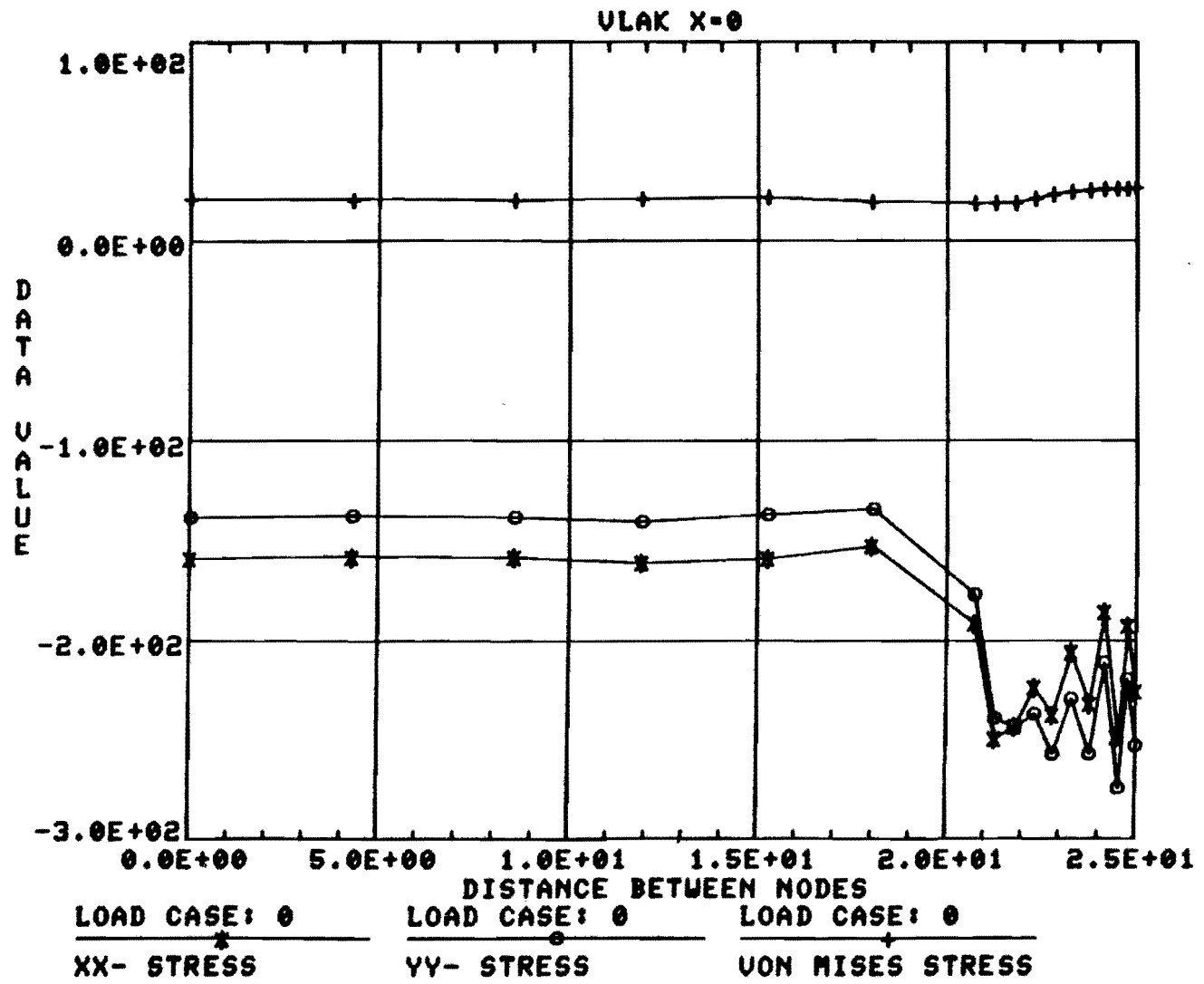
STAP 13

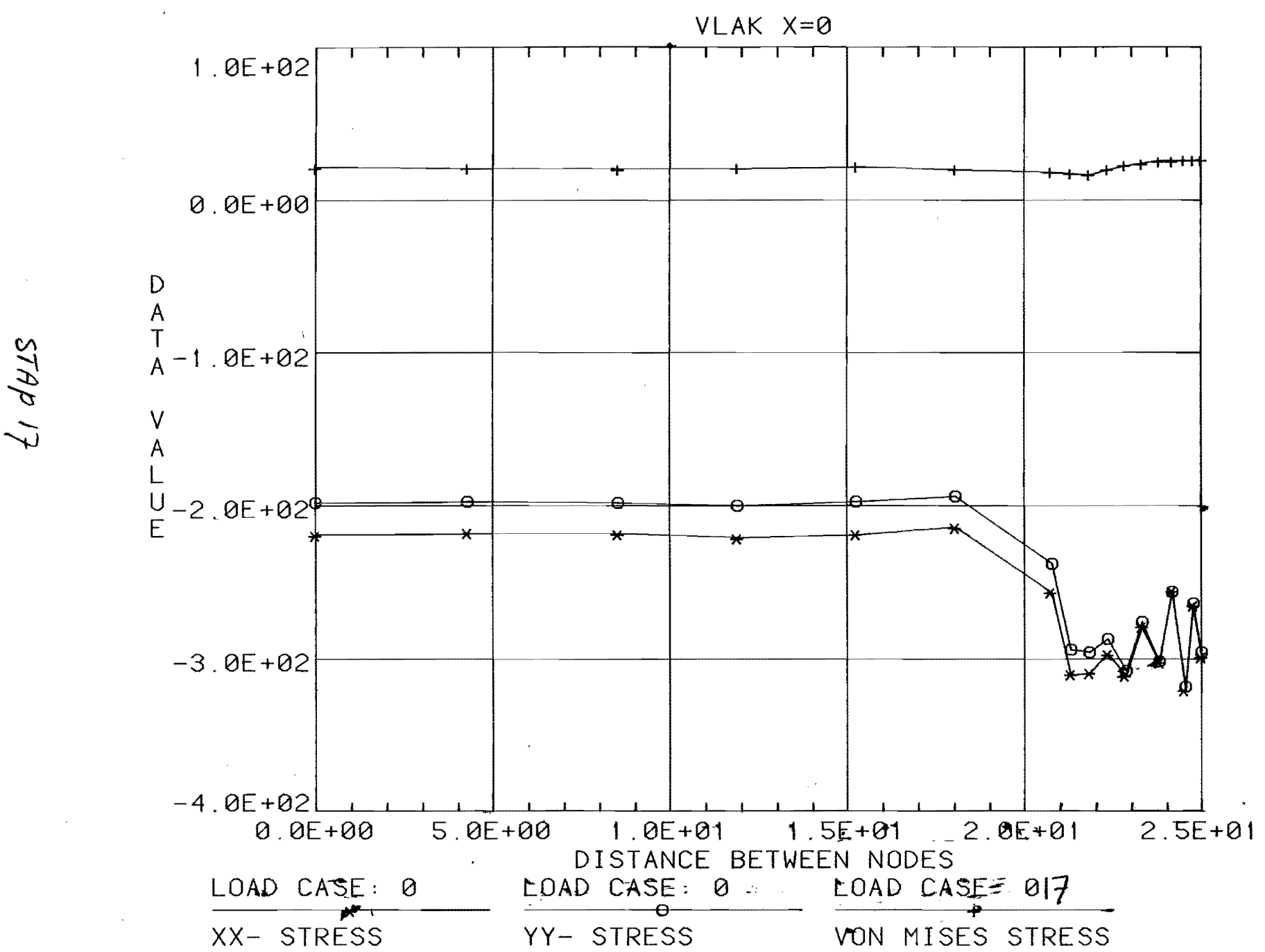




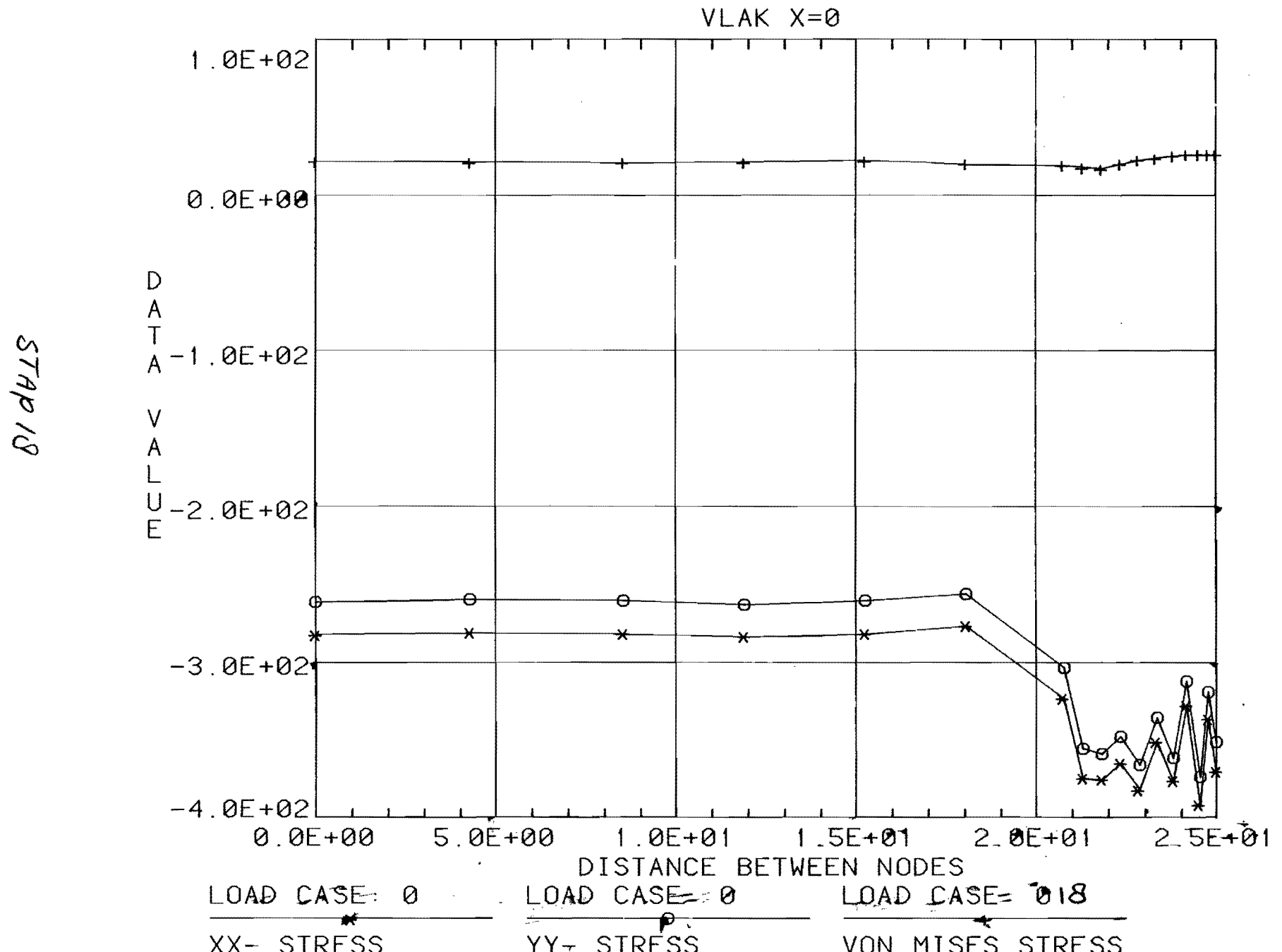


STAP 16



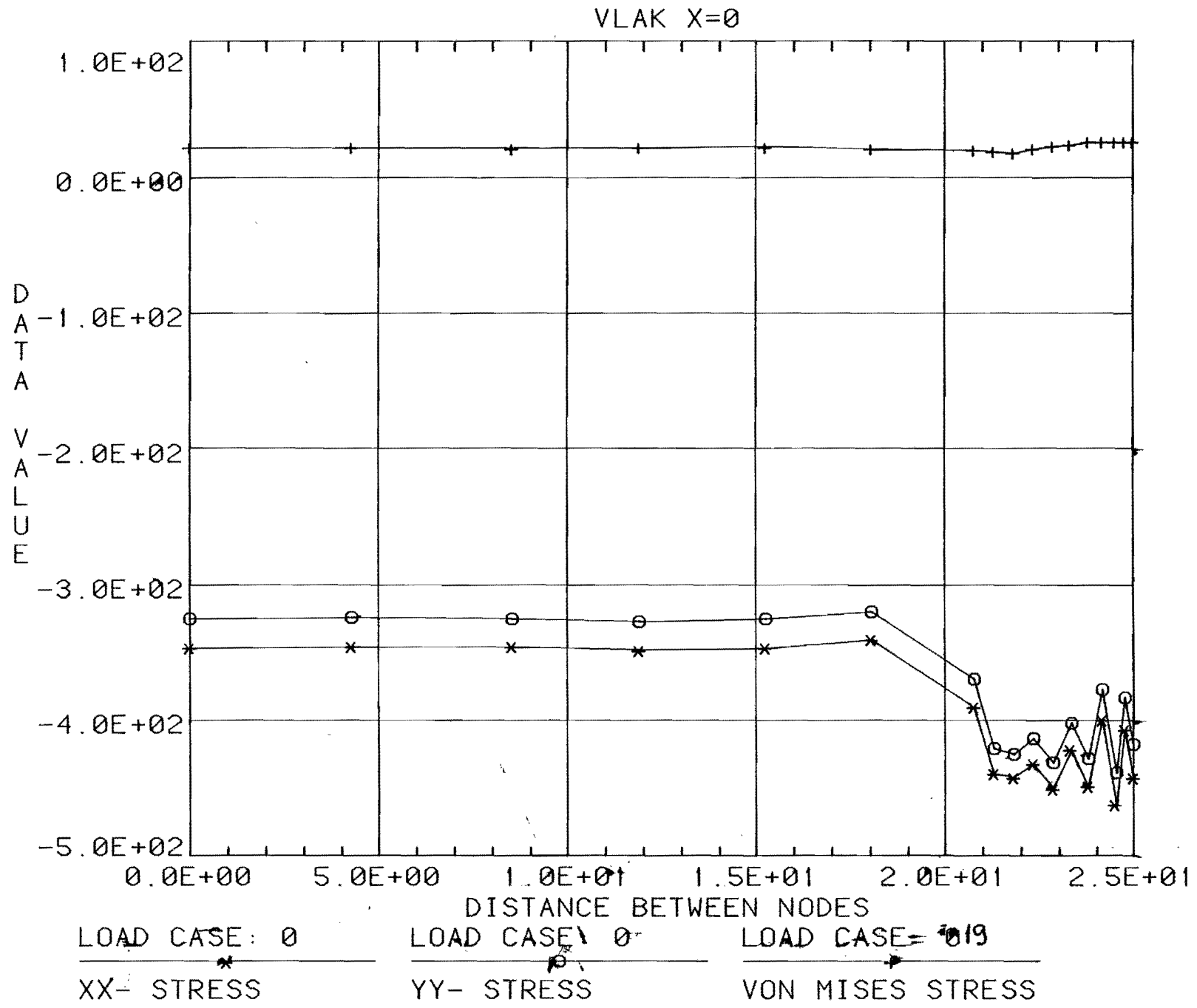


STAP 18



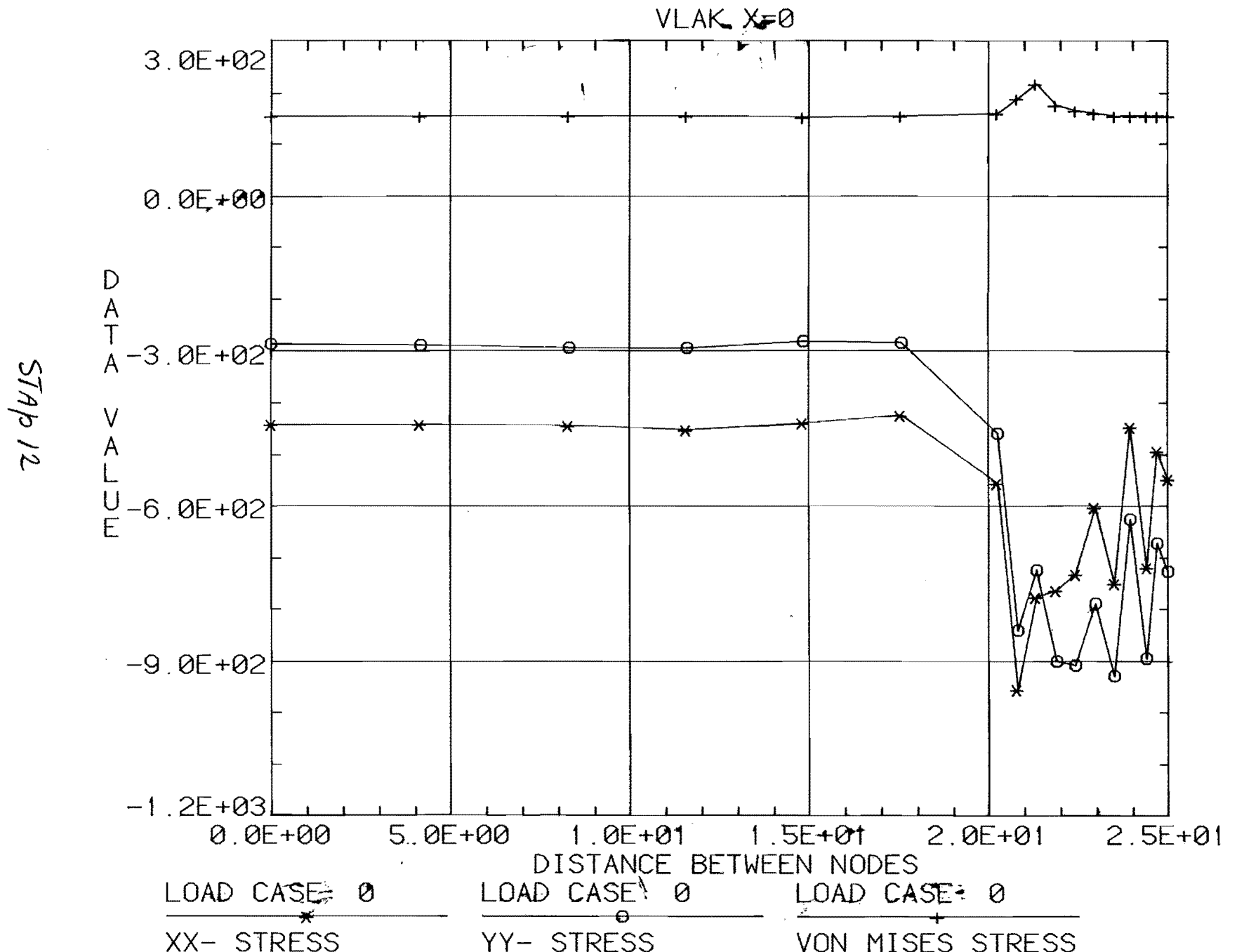
61 dVIS

-69-



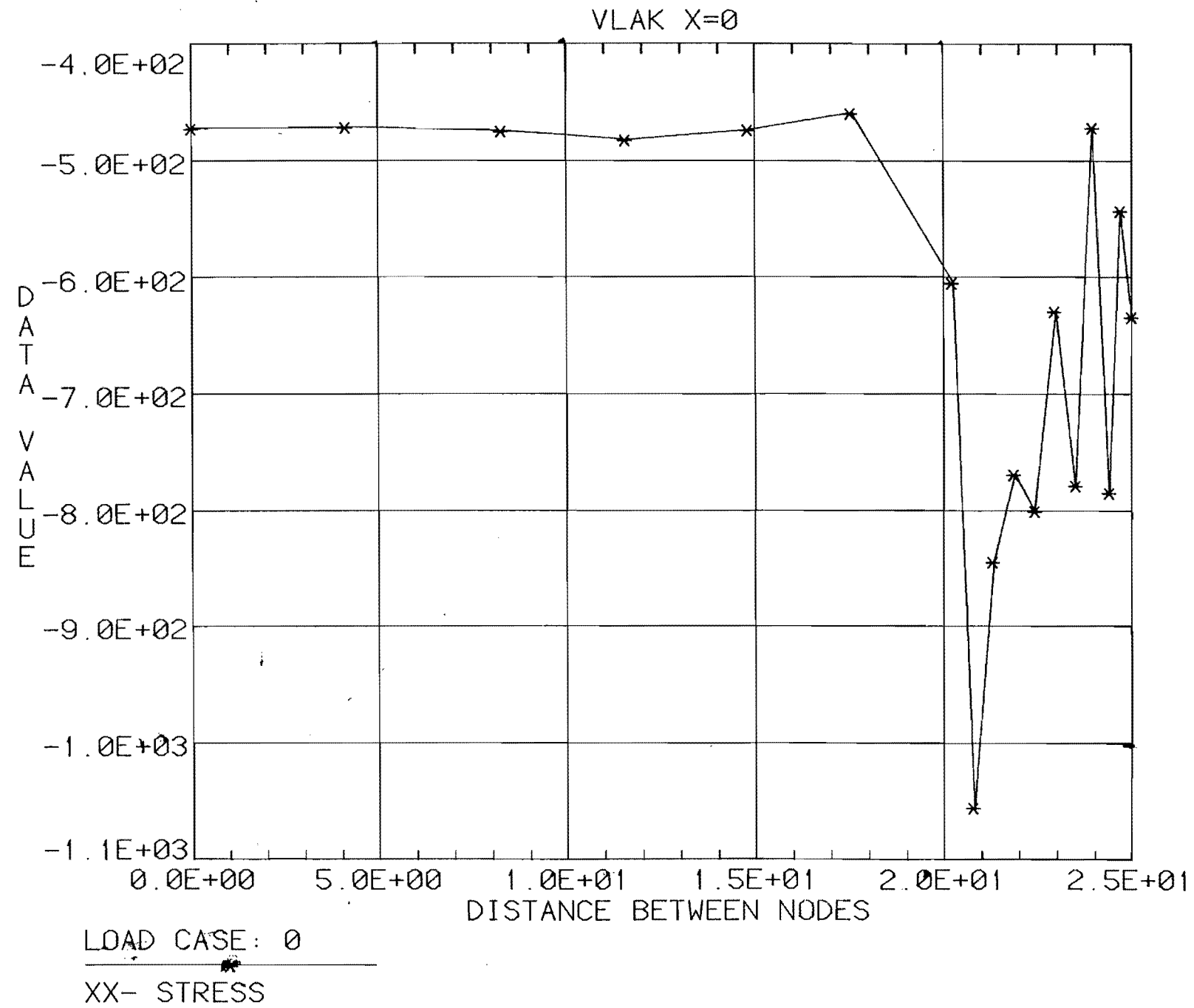
Bylage IV

Spanningen Aluminium

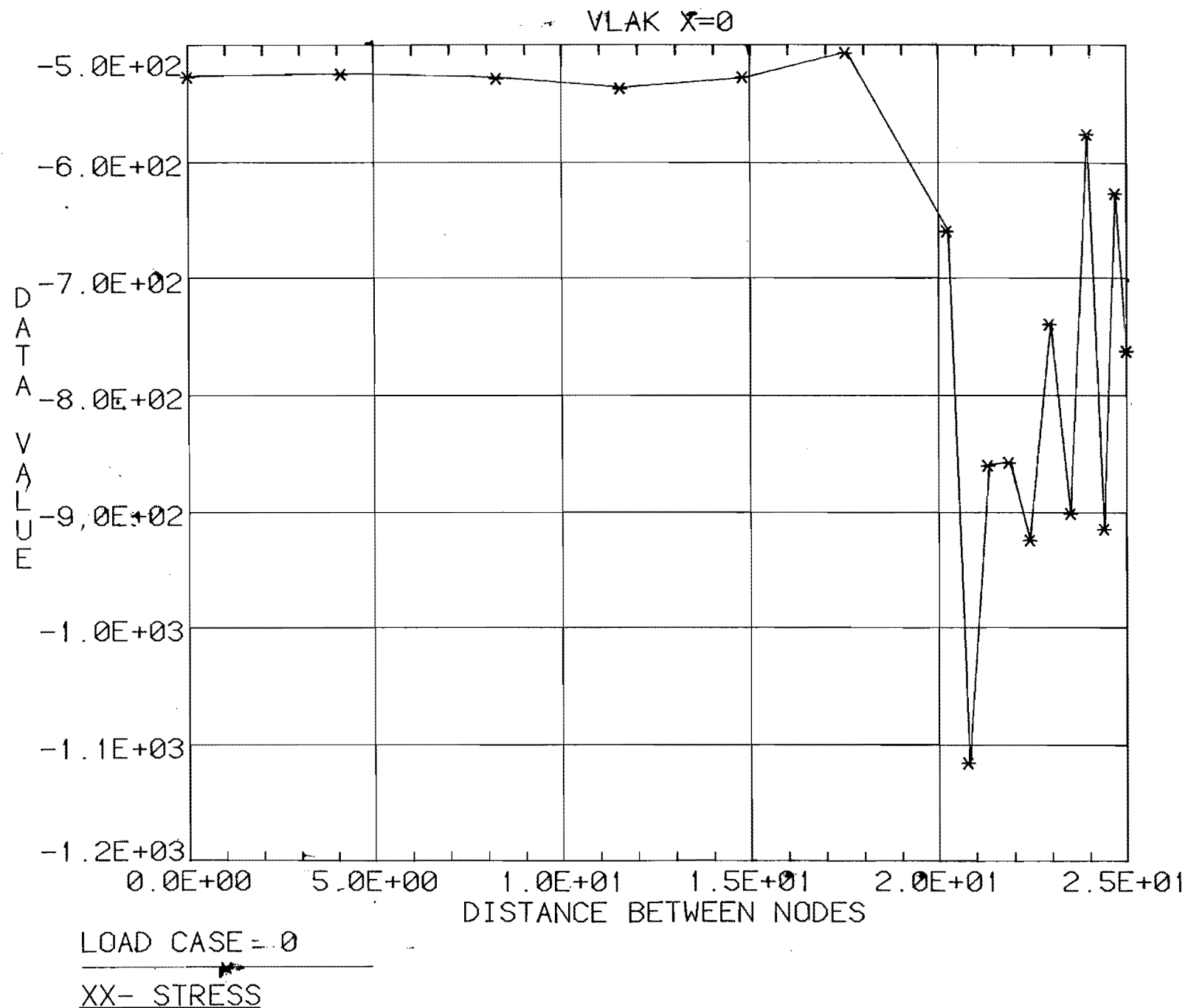


STEP 13

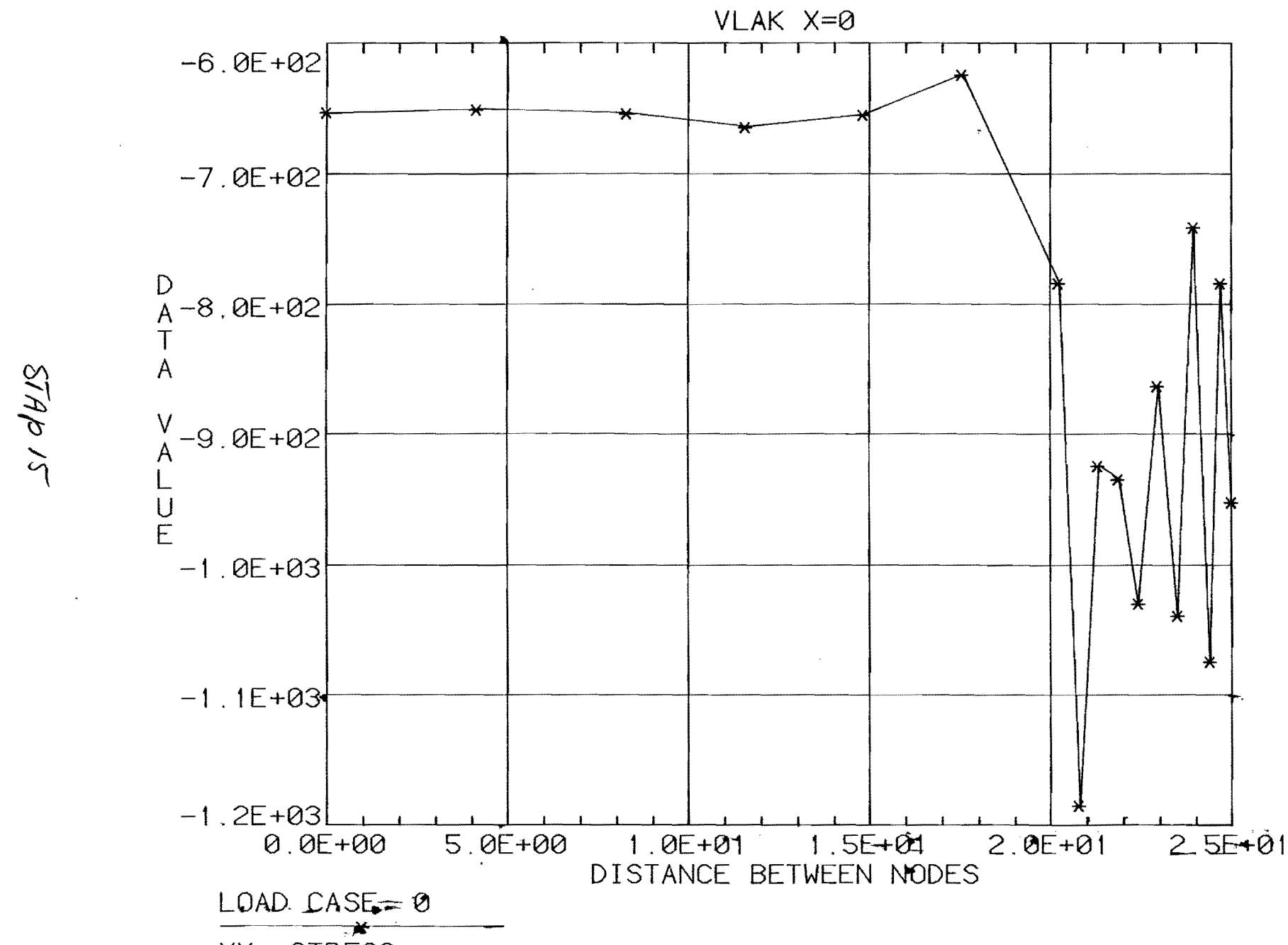
-72-



Step 14

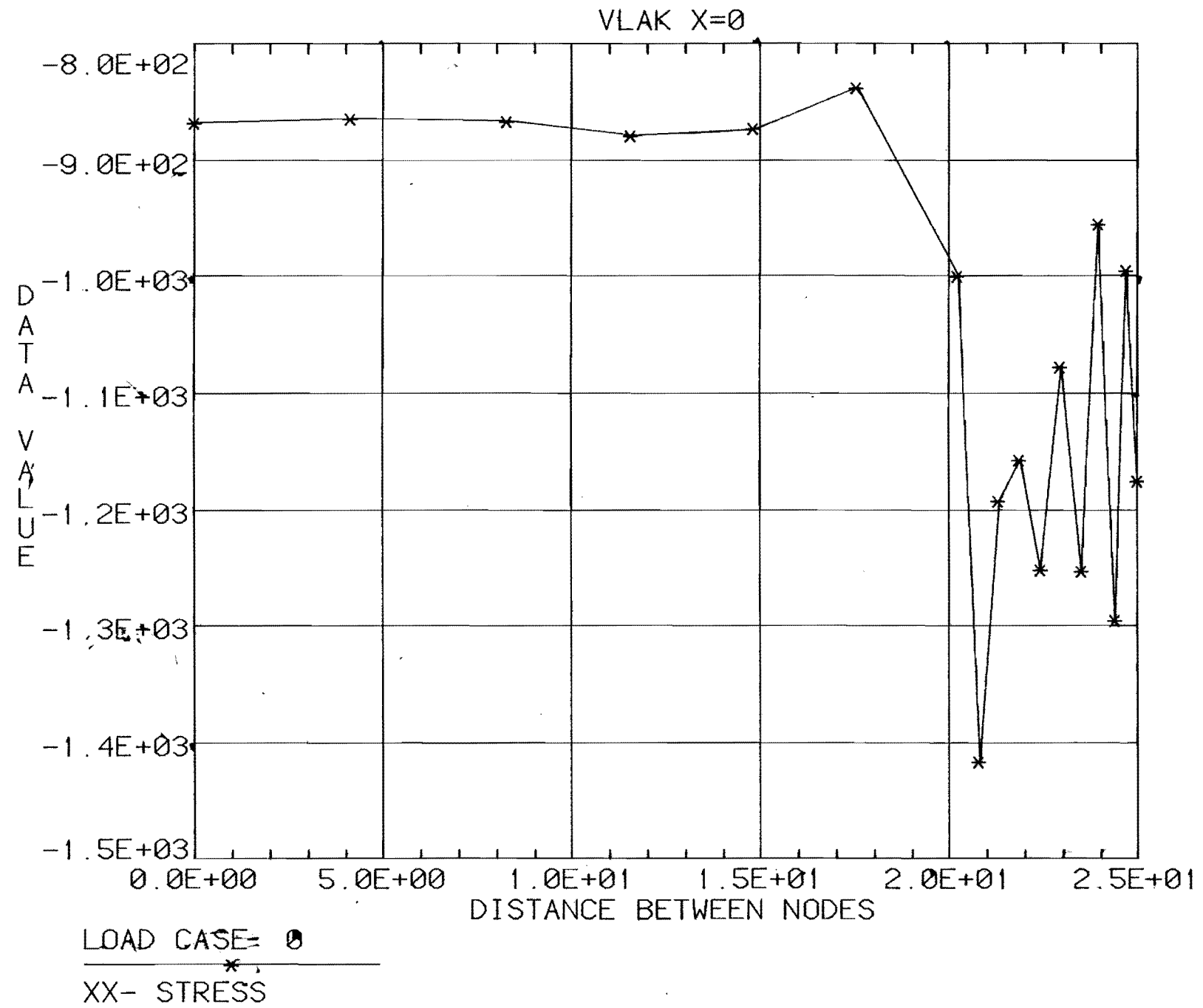


STAB 15

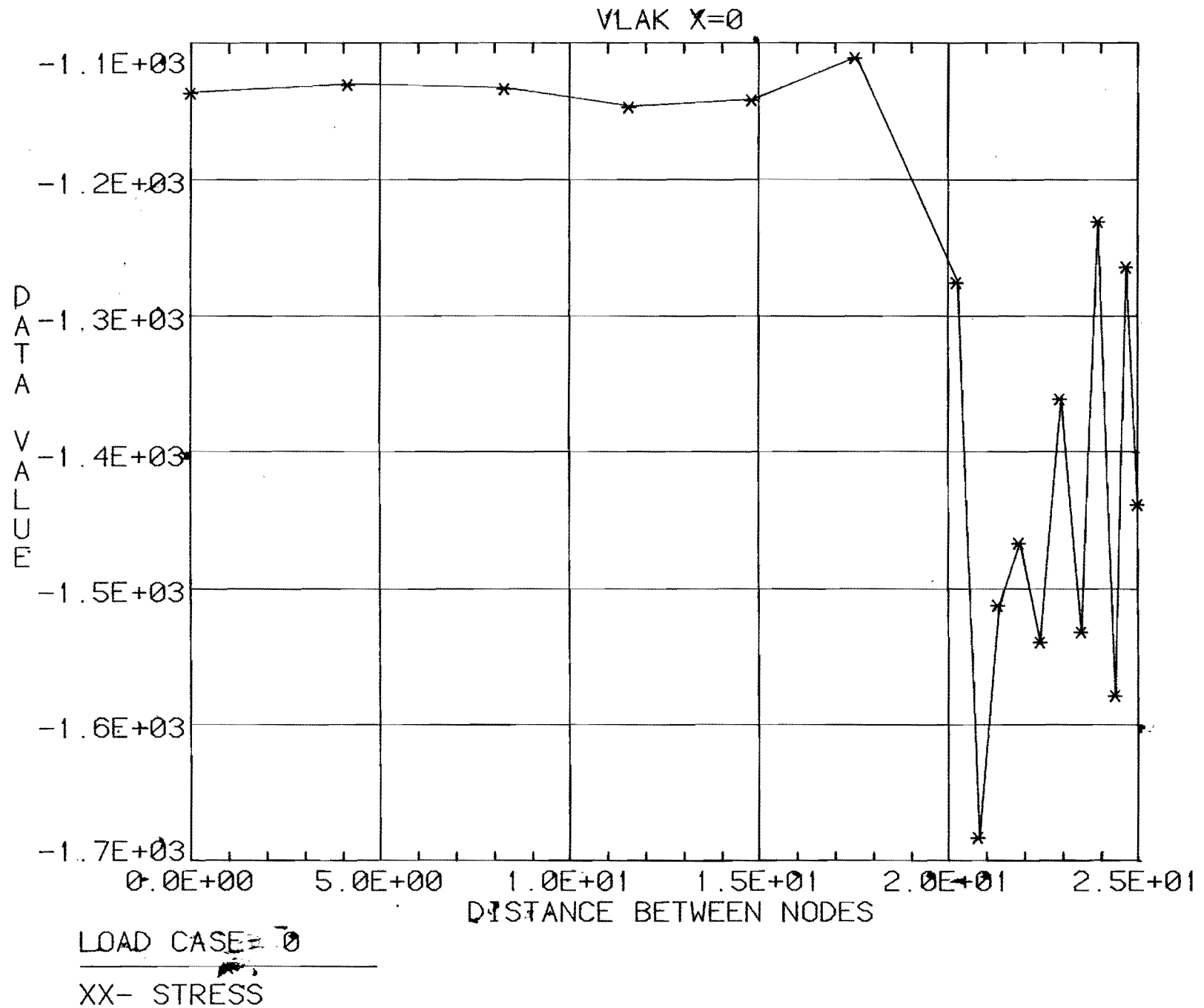


74

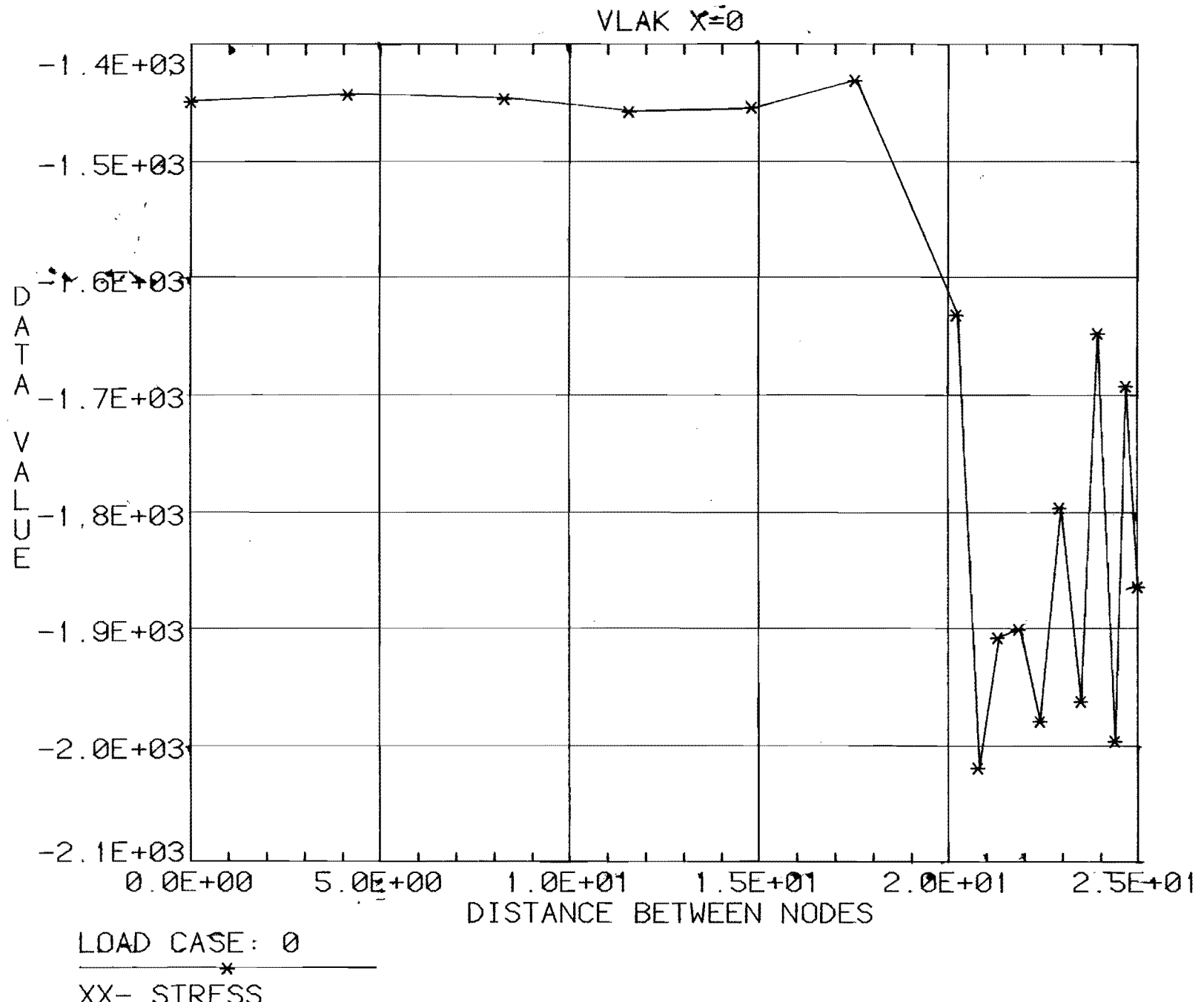
9/14/81



STAP 17



$\delta_1 \text{ dynes}$



$-t_L$

σ_{xx} stress

-88-

